



**MIEŚIĘCZNIK**

# **RADIO**

**DLA TECHNIKÓW I AMATORÓW**

ROK II

LIPIEC-SIERPIEŃ 1947 R.

NR 7-8

BIURO WYDAWNICTW POLSKIEGO RADIA

*cena 60 zł*

---

---

### TREŚĆ NUMERU:

1. Z kraja i zagranicy.
2. Nowy nadajnik średnifalowy, o mocy 50 kw dla Wrocławia.
3. Radletympia.
4. Fizyka atomowa (Dokształcenie).
5. Zmieszanie odbiorników i wzmacniaczy z sekcją zmiennego. (Ciąg dalszy).
6. Tongenerator.
7. Rozmaitości.
8. Przegląd schematów.
9. Lampy sekcji 2L.
10. Nemeogram Nr 15.

---

---

CZYTAJCIE TYGODNIK

» **RADIO i ŚWIAT** «

---

---

# R A D I O

Miesięcznik dla techników i amatorów

Rok II

Lipiec – Sierpień 1947

Nr 7-8

## Z KRAJU I ZAGRANICZY

### ROZBUDOWA POLSKIEJ RADIOFONII

W październiku i listopadzie\*) zbiegły się dwa ważne wydarzenia dla Polskiego Radia. 26 października br. nastąpiło otwarcie 25-kilowatowej radiostacji w Toruniu. Stacja została odbudowana dosłownie z gruzów, dzięki wytrwałej pracy polskiego inżyniera i robotnika, oraz pomocy społeczeństwa pomorskiego, które nie szczędziło ofiar w zrozumieniu znaczenia tej placówki.



Budynek radiostacji w Toruniu.

Drugie święte to otwarcie we Wrocławiu nowej 50-kilowatowej stacji, mającej za zadanie pokryć zasięgiem ziemie Dolnego Śląska. Stacja zakupiona w Ameryce w znanej firmie R. C. A. (Radio Corporation of America), należy do najnowszych modeli wykonanych po wojnie. Jednym z nowych rozwiązań (dokładny opis w specjalnym artykule) jest zastosowanie lamp końcowych chłodzonych powietrzem. Dotychczas stacje tej wielkości wykonywane były wyłącznie z chłodzeniem wodnym. Uroczyste otwarcie stacji nastąpiło 16 listopada.

### PRZYDZIAŁ FAL DLA KRÓTKOFALOWCÓW

Jak już wspominaliśmy, od maja do września trwała konferencja przydziału fal w Atlantic

\*) Aktualne wiadomości podajemy bez względu na opóźnienie numeru, powstałe skutkiem trudności wydawniczych.

City (U. S. A.). Jakkolwiek jeszcze nie posiadamy kompletnych materiałów odnośnie wyników konferencji, podajemy za czasopismem „Short Wave News” zatwierdzony już przydział pasów dla amatorów krótkofalowców.

| Pas                | Uwagi   |
|--------------------|---|
| 1715 — 2000 kc/s   | pas 200 kc/s wspólny z innymi służbami; moc maksymalna 10 W. Pas przydzielany załatwieć od decyzji władz danego państwa |
| 3500 — 3800 „      | pas wspólny   |
| 7000 — 7100 „      | pas wyłączny dla amatorów   |
| 7100 — 7150 „      | pas wspólny   |
| 14000 — 14350 kc/s | pas wyłączny z wyjątkiem 14250—14350 kc/s zaproponowany przez Z. S. R. R. dla służby wewnętrznej                        |
| 21000 — 21450 „    | pas wyłączny  |
| 28000 — 29700 „    | pas wyłączny  |
| 144 — 146 Mc/s     | pas wyłączny  |
| 420 — 460 „        | pas wyłączny  |
| 1215 — 1300 „      | pas wyłączny  |
| 2300 — 2450 „      | pas wyłączny  |
| 5650 — 5850 „      | pas wyłączny  |
| 10000 — 10500 „    | pas wyłączny  |

Reasumując wyniki konferencji, krótkofalowcy stracili wpasie 7Mc—150kc, w pasie 143Mc—50 kc, w pasie 28 Mc — 300 kc oraz całkowicie stracili pas 60 Mc. Uzyskano nowy pas 21 Mc (45 m), pas 144 Mc oraz 4 pasy fal centymetrowych.

### RADIOLYMPIA

Nawiązując do przedwojennych tradycji, angielski przemysł radiowy zorganizował w Londynie wystawę Radiolympia. Na następnych stronach podajemy specjalny raport z wystawy; na tym miejscu przedstawimy kilka modeli nowych przyrządów pomiarowych i urządzeń.



Rys. 1.

Na rys. 1 widzimy nowy model woltomierza lampowego znanej firmy AVO. Opór wejściowy 111 M $\Omega$ , zakresy prądu stałego 250 mV — 10000 V, na prądzie zmiennym 1 V — 2500 V (bez błędów do 2 Mc/s) oraz 1 V — 250 V (aż do 250 Mc/s).

Firma Coasor przedstawiła nowy model (rys. 2) oscylografu dwu-strumieniowego (możliwość równoczesnego oglądania dwu przebiegów bez użycia specjalnych przełączników elektronowych). Generator podstawy czasu wyskalowany z dokładnością 10% od 150 msek. do 15  $\mu$ sek\*) oprócz tego posiada urządzenie do oglądania jednorazowych przebiegów. Wzmacniacz płytek pionowych od 20 c/s do 10 Mc/s!!

Firma General Electric Co. Ltd. (rys. 3) przedstawiła generator 5kW do celów przemysłowych, (topienie metali, hartowanie i t. p.). Podobnie znana u nas firma „Philips” zamontowała na wystawie stoisko, w którym były w „ruchu” generator widłowej częstotliwości dla

\*) czas trwania 1-go okresu.



Rys. 2.



Rys. 3.

celów przemysłowych o mocy 50 KW, aparat rentgenowy do kontroli przemysłowej, diatermę 300 W. na fali 3 m.

## Nowy nadajnik średniofalowy, o mocy 50 kilowatów dla Wrocławia

(Korespondencja z Wrocławia z Ameryki)

Polskie Radio zakupiło dla rozgłośni wrocławskiej 50-cio kilowatowy, całkowicie chłodzony powietrzem nadajnik średniofalowy. Dostawcą jest firma Radio Corporation of America w New-Yorku.

Nowy nadajnik jest najbardziej nowoczesnym modelem skonstruowanym w Ameryce w okresie powojennym.

### Dane charakterystyczne nadajnika typu BTA-SOF.

Oto główne dane radioelektryczne nadajnika:

- 1) Zakres częstotliwości: od 540 do 1600 kc/sek.
  - 2) Moc wyjściowa wys. częst.: 55 kilowaty na złączach wyjściowych nadajnika.
  - 3) Wyjściowa oporność zespołu:  $230 \pm j^*$  omów.
  - 4) Stałość częstotliwości nadajnika:  $\pm 10$  okr./sek.
  - 5) Charakterystyka częstotliwości akustycznych:  $\pm 1$  decybel w zakresie od 30 do 10000 okr./sek., od poziomu odniesienia dla 1000 okr./sek. i 60% modulacji.
  - 6) Oporność wejściowa dla częstotliwości akustycznych: 600 omów.
  - 7) Poziom wejścia dla częstotliwości akustycznych:  $+10$  VU przy 100% modulacji.\*
  - 8) Współczynnik zniekształceń nieliniowych mniej niż 3% w zakresie od 50 do 7500 okr./sek., przy 90% modulacji.
  - 9) Poziom szumów (wartość skuteczna): 60 decybeli poniżej 100% modulacji.
  - 10) Natężenie pola (maks.) dla harmonicznych w częstotliwości w odległości 1 mili od nadajnika: 70 decybeli poniżej natężenia pola podstawowej częstotliwości nośnej.
  - 11) Zużycie mocy: 110 kilowatów, współczynnik mocy 97%, bez modulacji.
  - 12) KW, współczynnik mocy 88%, dla 25% modulacji.
  - 13) KW, współczynnik mocy 90% dla 100% modulacji.
  - 14) Napięcie zasilania z sieci 3-fazowej prądu zmiennego, 50 okr./sek., przewidziana regulacja automatyczna i ręczna napięcia zasilania lamp w granicach  $\pm 5\%$ .
- Nowy nadajnik wrocławski jest całkowicie chłodzony powietrzem, mimo stosunkowo dużej mocy (55 KW).
- Dotychczas nadajniki tej mocy były wykonywane wyłącznie z chłodzeniem wodnym.

\* Poziom w jednostkach VU (volume unit), równy jest liczbowo ilości decybeli w stosunku do poziomu zerowego 1 miliwat na 600 omów. (grzyp. red.)

### Rozpisanie nadajnika (rys. 1).<sup>\*)</sup>

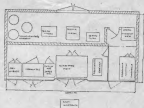
BTA — SOF składa się z 6 zasadniczych elementów:

- 1) układu wzbuźniającego z generatorem kwarcowym, 2) modulatora, 3) wzmacniacza mocy w cz., 4) przetwornika głównego, 5) urządzenia zasilającego urządzenia lampy mocy, 6) urządzenia kontrolno-rozdziałowego.

"Pasek" frontowy nadajnika posiada długość ok. 10 metrów oraz wysokość 2,1 metra.

Nadajnik jest zmontowany z szeregu sekcji dla ułatwienia przewożenia i montażu.

Dla ułatwienia połączeń elektrycznych między poszczególnymi sekcjami w głównej części nadajnika znajduje się kanał kablowy z dającą się zdejmować.



Rys. 1. Rozpisanie nadajnika.

mować pokrywę. W kanale umieszczone są kable i przewody.

Zaopatrzone w blokadę drzwi umożliwiają dostęp do przedniej części układu wzbuźniającego, modulatora oraz wzmacniacza mocy. Po otwarciu tych drzwi są dostępne wszystkie lampy typu 9C22, pracujące zarówno we wzmacniaczu mocy jak i w modulatorze.

Lampy te mogą być więc łatwo wymienione, przy pomocy dodatkowego specjalnego urządzenia do wyjmowania i zakładania lamp.

Z prawej strony nadajnika znajdują się drzwi bez blokady elektrycznej, które dają dostęp do urzą-

\* Na stacji wrocławskiej, ze względu na lokalne warunki, rozpisanie nadajnika jest nieco inne, niż na rys. 1. Transformatory snodowa, transformator i diask modulatora znajdują się w powłocy (grzyp. red.).

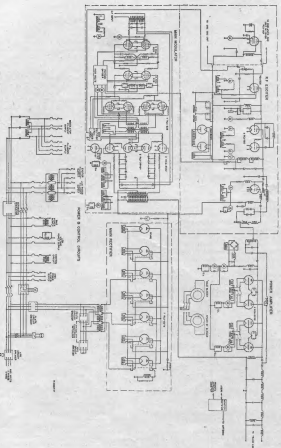


Fig. 2. Diagram of the internal circuitry of the BT-A-30T.  
break contacts are provided in the first stage of the modulator, providing stable operation of the circuit.  
R.P. EXCITER break contacts — group red.

dzenia kontrolne - rozdzielczego oraz szeregu wyłączników. W pobliżu tej tablicy znajdują się zbiór drzwi z blokadą elektryczną, prowadzące do tylnej części podajnika.

W części tej znajdują się: transformator modulacyjny dla modulacji w klasie B, dławik modulacyjny, wysoko napięciowe transformatory anodowe, dławik filtra głównego. Ten ostatni jest chłodzony powietrzem, pozostałe, wymienione wyżej aparaty, są napelnione olejem.

Uproszczony schemat ideowy. (rys. 2).

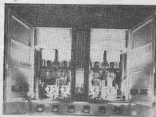
Układ wzбудzający zawiera 2 oscylatory kwarcowe z lampami strumieniowymi typu 807. Oscylator jest dostarczany do żądanej czystości przy pomocy cewki z odzestami oraz małego przesylnego kondensatora.

Napięcie wielkiej czystości jest doprowadzane do wzmacniacza w. cz. pracującego z jedną lampą strumieniową 828, bez neutralizacji.

Wzmacniacz ten wzbudza następny stopień układu z 2-ma lampami 819, pracującymi równolegle.

W obwodzie anodowym tych 2 lamp znajduje się obwód drgań, złożony z kondensatorów stałych i 2 zwojnic.

Przy pomocy silnika elektrycznego można zmieniać ilość zwojów jednej z tych cewek. Stopień ten posiada neutralizację. Steruje on w dalszym ciągu następny stopień z lampą 802R, chłodzony powietrzem. Obwód drgań w anodzie lampy 802R składa się z 4 kondensatorów mikowych oraz 2 zwojnic z małym stratami w. cz. Jedna ze zwojnic posiada napęd silnikowy, umożliwiający zmianę ilości zwojów. Stopień ten jest również neutralizowany. W stopniu tego stopnia znajduje się także prostownik



Rys. 2. Wzmacniacz mocy w. cz. Widoczne są 4 lampy: 2 pracujące i 2 rezerwowe.

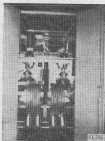
dwupółokowy, jednofazowy, na napięcie stałe 1560 woltów, dla zasilania anod stopnia małej mocy wzmacniacza w. cz. oraz modulatora.

Stopień z lampą 802R dostarcza ok. 5 KW mocy

w. cz. Jest to moc niezbędna dla wystrozenia kołowego wzmacniacza mocy.

Energia w. cz. z obwodu anodowego lampy 802R jest doprowadzona do obwodu siłkowego lamp 9C22 przy pomocy zasilko - oporowej linii koncentrycznej.

Kołowy wzmacniacz mocy składa się z 2 lamp 9C22 chłodzonych sztucznym obiegiem powietrza i pracujących w klasie C.



Rys. 4. Wideo wzmacniacz mocy w. cz. od tyłu. Nad lampami znajdują się rury do dostarczania powietrza celem chłodzenia tych koł wzmacniacza.

W wypadku uszkodzenia lamp krytycznych mogą być włączone bardzo szybko 2 lampy rezerwowe.

Obwód siłkowy wzmacniacza kołowego składa się z cewki na korpusie miedzianym oraz kondensatorów mikowych.

Dla uzyskania odpowiedniej polaryzacji siłtek lamp 9C22, zostały zastosowane w siłkach opory, umieszczone w strumieniu chłodzącego powietrza.

Część sporu siłkowego jest połączona z suchym prostownikiem dającym napięcie w tych okresach czasu, gdy brak napięcia wzбудzającego. Brak tego napięcia mógłby, jak wiadomo, spowodować zniszczenie lamp ze skutkiem przecięcia anod.

Obwód drgań wzmacniacza mocy stanowi filtr typu II strojony kondensatorami napelnionymi gazem. Kondensatory dają się obracać przy pomocy serwomotoru.

Stopień końcowy jest neutralizowany tak, by wymiana lamp nie wymagała poprawienia neutralizacji \*\*).

Dla wyeliminowania czystości harmonicznych zastosowany jest filtr typu „T”, który umieszczony jest w przegrodzie doskonale ekranowanej od obwodu wyjściowego.

Wyjście filtra „T” dopasowane jest do oporności charakterystycznej linii zasilającej (t. zw. fidera).

\*\* Wymiana lamp w stopniu mocy 9C22 wymaga jednakże korekty neutralizacji co stwierdzono doświadczeniem (przyj. red.).

w danym wypadku do 230 cmtów (linia sześcioprzewodowa). Z wyjścia tegoż filtru pobrana jest energia w. cz. dla urządzenia kontrolnego modulacji, miernika zakłóceń, urządzenia dla zmniejszenia tętnienia prądu.

Modulator oraz stopnie wstępne wzmożenia niskiej częstotliwości, znajdują się w pobliżu układu wzбудzającego nadajnika.

Signal wejściowy o poziomie + 10 VU wystarcza dla wymodelowania 100% fall nożnej.



Rys. 5. Ślół kontrolny nadajnika.

W układzie modulatora zastosowano stabilizowane ujemne sprzężenie zwrotne (z anod lamp 9C22 do siatek pierwszego stopnia wzmożenia) dla zmniejszenia przydzwisku prądu zmiennego oraz zakłóceń.

W pierwszym stopniu pracują 2 lampy 8C1, sterujące następnie 2 lampy 82B, które z kolei wzbudzają 4 lampy 82B w układzie „cathode follower”. Układ ten, obecnie coraz częściej stosowany, pozwala na użycie lamp o małej mocy dla wystawiania właściwego modulatora, nie wymaga transformatora oraz pozwala na użycie ujemnego sprzężenia zwrotnego od końcowego do pierwszego stopnia wzmożenia, bez obawy samowzbudzenia. Samowzbudzenie, jak wiadomo, może nastąpić w wypadku, gdy dla jednej z częstotliwości akustycznych ujemne sprzężenie zwrotne staje się dodatnie.

Modulator właściwy składa się z 2 lamp 9C22 pracujących w klasie B. 3-cia lampa 9C22 służy jako rezystorowa.

Miedzy modulatorem a wzmacniaczem mocy umieszczone jest urządzenie zasilające żarzenie wszystkich lamp 9C22.

Dla każdej lampy 9C22 stosowane są 3 transformatory i 3 diawitki. Urządzenia wtórne każdej z grupy 3 transformatorów są połączone równolegle i niskie napięcie doprowadzone jest do lampy przy pomocy przewodnika miedzianego o wymiarach  $\frac{1}{4} \times 1\frac{1}{2}$  cala (6 x 38 mm).

Tego rodzaju układ o wysokiej oporności indukcyjnej jest bardzo wygodny dla rozruchu, zamiast stosowania transformatorów stopniowych.

Lampy 9C22 są żarzone z. układu 2 fazo-

wego.\*) Napięcie żarzeniowe jest uzyskane z napięcia 3 fazowego przez zastosowanie transformatora w układzie Scotta.

Do każdej z dwu faz przyłączone jest żarzenie i lampy modulacyjnej 9C22 oraz i lampy mocy w. cz. 9C22. Na to na celu zmniejszenia brzęczenia prądu zmiennego.

Ogółem urządzenie posiada 12 transformatorów żarzenia oraz 12 diawitków.

Prostownik główny składa się z 7-miu lamp 827B, w układzie 3 fazowym dwu-półprzewodowym. 7-ma lampa służy jako zapasowa i dzięki odpowiedniemu połączeniu może pracować zamiast jakiegokolwiek lampy spośród pozostałych sześciu. Przełączenie lampy odbywa się natychmiastowo.

Kondensatory filtru głównego, umieszczone bez pośrednio pod ramą prostownika, są wypełnione niepalną cieczą.

W wypadku uszkodzenia, każdy z tych kondensatorów może być usunięty z obwodu przy pomocy wyłącznika automatycznego. W chwili przyłączenia napięcia szeregowo z kondensatorem filtru jest włączony opornik. Po upływie ułamka sekundy opornik ten zostaje autom. zabocznikowany.

Dzięki temu urządzeniu umożliwia się dla rozruchu stosowania stopniowego zwiększania napięcia anodowego.

Urządzenie kontrolne zapewnia optimum zabezpieczenia i kontroli, przy zastosowaniu minimalnie możliwej ilości przekładników.

Urządzenie to pozwala na to, że nadajnik może być uruchomiony stopniowo lub też (wówczas gdy



Rys. 6. Dmuchawa służąca dla chłodzenia powietrznego

wyłączniki żarzenia i napięcia anodowego są zamknięte) od razu przez zamknięcie wyłącznika z nazwą „Start”.

Wszystkie lampy 827B, 9C22 i prostowniczki są zabezpieczone przy pomocy 8 przekładników nadmiarowych.

Nadajnik jest zabezpieczony przeciw zwarciom, uziemieniom i t. p.

\*) Aby dać równomiernie obciążenie dla sieci trójprzewodowej (przyp. red.).



# RADIOLYMPIA

(Specjalny reportaż dla siles „Radio”).

Radiolympia — wystawa przemysłu radiowego i elektronicznego zakończyła się 11.XI. Co prawda zwiedzających było tylko około pół miliona, ale to dlatego, że wystawa trwała zaledwie 11 dni.



Rys. 1. Wnętrze hall wystawowej.  
(Sport & General).

Charakterystycznymi momentami Radiolympii były dwa fakty: przede wszystkim była to pierwsza wystawa od roku 1939 (przed wojną wystawy odbywały się regularnie co rok), oraz to, że B.B.C. obchodziło 25-lecie rozpoczęcia nadawania programów telewizyjnych.



Rys. 2. Studio telewizyjne na wystawie.  
(Daily Mirror).

Wystawa mieściła się w 2 ogromnych halach budynku „Olympia” (rys. 1), a poszczególnych wystawców było około 320. Największą popularnością

cieszyło się prowizoryczne studio telewizyjne B.B.C., nagrywające podczas tych 11-tu dni oryginalne programy, oraz placówka słynnego Scotland Yardu, przed którą tłoczyło się wiele ludzi, by zobaczyć jak pracują policyjne patroły wyekwipowane w odbiorniki i nadajniki zamontowane w samochodach.

Przed studiem telewizyjnym czekały długie kolejki zwiedzających, aby móc przejść się po galerii nad studiem i zobaczyć w jaki sposób odgrywa się program (rys. 2 i 3). Wszystkie odbiorniki telewizyjne ustawione na wystawie odwarzały dla zwiedzających program. Dwa razy dziennie program wystawowy transmitowano do „Aleksandra Pałacu” a stąd na antenę.

Studio odwiedzone było pięcioma obcymi i reflektorami i całą masą mniejszych.



Rys. 3. Fragment programu telewizyjnego.

Program nagrywany był równocześnie przez 3 kamery, z których tylko jeden wybierano i przesyłano w eter.

W „Alej telewizyjnej” ustawionych było w rzędzie 30 różnych odbiorników „na chodzie”. Modele niektórych odbiorników przedstawiają rys. 4 i 5.

Ogólne zainteresowanie wzbujał aparat radiowy „Cosmo’s”. Na dachu Olympii zamontowana była antena obrotowa tak, że zwiedzający mogli obserwować na ekranie lampy oscylograficznej oryginalny obraz okolic terenu wystawy.

W ogóle, to charakteryzowało całą wystawę, że prawie wszystkie ekspozycje były „na chodzie”.

Firma „Garam” zademonstrowała aparat do pomiaru szybkości reakcji ludzkiej. Naprzeciw badanego osobnika umieszczona była żarówka, która zapalała się; w tym momencie pacjent puszczal przyszykany guzik. Oczywiście jest, że musi istnieć pewne opóźnienie pomiędzy momentem, kiedy oczy



Rys. 4. Jeden z odbiorników telewizyjnych z ekranem  $56 \times 40$  cm. (Sport & General).

coś zobacz, a ruchem ręki, która zwolni przycisk, wykonując wolę mózgu. Do aparatu podłączona była lampa oscylografowa, na której ekranie, wyskakiwanym w częściach sekundy, obserwować można było przesuwający się strumień elektronów.



Rys. 5. Maszyna 43 lampowa, 12 zakresów, kombinowany odbiornik foniczny i telewizyjny, uruchamiany z odległości. (Fotografia bryt.).

W momencie zapalenia się lampy na ekranie widział było przesuwający się strumień, który stawał w miejscu, gdy tylko został naciśnięty guzik. Nar-

azony czas reakcji ludzkiej powinien wynosić przeciętnie 115 sekundy.

Demonstrowano szereg pieców wysokiej częstościowych oraz więcej używanych obecnie w metalurgii i t. p.

„Phillips” wywodził potężną siłę z wystającą cewką indukcyjną, do wnętrza której wkładał się kawałek metalu. W ciągu niepełnej minuty, metal stawał się rozpalony do białego.

Firma „Ediswan” zamponowała aparatem do rejestrowania „gry ludzkich nerwów” (rys. 6).

Na głowę pacjenta zakłada się siatkę, która przyciska metalowe elektrody do pewnych uprzednio zwilżonych miejsc. Elektrody podłączone są do wzmacniacza o wzmożeniu 10.000.000. Wyjście wzmacniacza uruchamiało rynek, rejestrujący na wolno przesuwającym się papierze prądy wywołane podczas pracy mózgu. Wyniki były naprawdę zadziwiające: gdy pacjent zamykał oczy i uspokoił się, kształt linii rejestrowanych był prawie prosty, gdy pacjent zaczął się rozglądać, trochę wznieślienerwowany wzrokiem ciękawy widoków, za rejestrowane krzywe przybierały wprost fantazyjne kształty. Sądzę, że aparat ten odlat może nadzwyczajne usługi w badaniu charakteru ludzkiego, lub na przesłuchaniu sądowym.

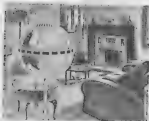
Firma „Dawo” popisywała się świetnymi stroboskopami. Jako model służył głośnik zasilany prądem małej częstotliwości 50 c/s. Na membranie pedało światła lampy neonowej podłączonej do źródła napięcia o dowolnie regulowanej częstotliwości. Światło neonówki migało zależnie od częstotliwości zasilającego napięcia. Gdy częstotliwość migania światła neonówki oraz drgań membrany głośnika były prawie sobie równe, można było obserwować membranę „wolno” się poruszającą. W ten sam sposób badano zachowanie się odbornika zamocowanego na „wytrzymałość” \*). Puszczono



Rys. 6. Aparat do rejestracji prądów mózgowych.

\* Urządzenie wykonujące ruchy wytrzymałość o określonej częstotliwości i amplitudzie. W ten sposób sprawdza się na wytrzymałość sprzęt mający pracować w ciężkich warunkach (red.).

światło stroboskopu na badaną część i po dobraniu częstotliwości migania neonówki obserwowano „pewni poruszający się” przedmiot. Przy pomocy stroboskopu można obserwować przedmioty będące w ruchu.



Rys. 7. Odbiornik — kula.

„Mullard” pokazywał między innymi model kopieł elektrycznej, która składała się z trzech różnokolorowych kompletów. Komórki fotoelektryczne czułe na kolory regulowały ruch. Zabawnie wyglądało, gdy zwodzone mosty zamykały się, przeskakiwały z miejsca; a wszystko to bez udziału ludzkiej ręki. Firma „Standard” demonstrowała drgania nadakustyczne, które wyrzucały z dużą energią słup oliwy w górę. Nie brakło również aparatów ultrafioletowych używanych w medycynie.

Ciekawy był pokaz odtwarzania audycji muzycznej przy „obcinalu” pewnego zakresu częstotliwości. Wyjście wzmacniacza podłączone było do oscylografu, na którego ekranie obserwować można było dźwięk.

Do bardzo ciekawych aparatów należał model „Synchredyn”<sup>1)</sup> — jest to nowy typ odbiornika przystosowanego do odbioru fal z modulacją amplitudy. Zasadniczą cechą tego odbiornika jest jego strojenie; albo jesteśmy dostrojeni do danej stacji w 100% albo wcale nie. Nie ma stanu pośredniego t. zw. złego nastawienia. System ten jest nadzwyczaj selektywny.

Do oryginalnych odbiorników radiowych należały „aparaty w kuli”. Kula wykonana jest z przezroczystej lub kolorowej masy plastycznej, a strojenie odbywa się obracaniem samej kuli (rys. 7).

<sup>1)</sup> Patrz opis w „Rozmaitościach”.

Z innych wyrobów, pierwszorzędna reprodukcją odznaczał się głośnik firmy „Lowther Volt”, nadający się do umieszczenia w rogu pokoju.

Trudno jest opisać jego wygląd, w każdym razie słuchający orkiestry, miałem wrażenie że mam ją przed sobą i to rozstawioną, gdyż niskie tony przychofiły z lewej a wysokie z prawej, jednym słowem, wada „głosa punkowego” została ułniona. Specjalną dziedziną tworzył sprzęt miniaturowy, jak wzmacniacz dla osób o osłabionym słuchu, następnie odbiorniki przenośne „Play boy” (grający chłopcy), które były tak małe, że niektórzy zwiedzający niezauważeni przez służbę „bpał” sobie je na pamiątkę, co spowodowało przytroczenie tych odbiorników łańcuchem do stołu.

Ten 4-ro lampowy super waży razem z bateriami około 1,5 kg i ma wymiary 15 × 10 × 3 cm. (rys. 8). Do typowo angielskich eksponatów można było zaliczyć mikrofony zaprojektowane specjalnie dla króla i królewskiej rodziny; była to naprawdę wspaniała robota, raczej nie elektrotechniczna a jubilerska. Mikrofony te musiały przedstawiać sporą wartość, gdyż specjalnie przydzielony policjant nie ruszał się ani o krok od stołka, na którym były ustawione. Nie starczyłoby miejsca na opisania nowych rozwiązań sprzętu radiotechnicznego, którego w Anglii jest pod dostatkiem i na który nie ma takich ograniczeń, jak na przykład w przemyśle tywnościowym czy tekstylnym.

Ostateczny mój pogląd na Radiolympię jest, że udala mi naprawdę znaleźć. Widziałem się z



Rys. 8. „Play boy” — mały super przenośny.

(The Times).

reg nowości, które zwłaszcza w technice telewizyjnej wysunęły Anglię przed U.S.A., wykupującymi zresztą ostatnie angielskie patenty w tej dziedzinie.

# Fizyka atomowa

(Dokończenie)

Prawie wszystkie promieniowania jądrowe, których znamy już dużą ilość są związane z procesami promieniotwórczymi, czyli wydzielaniem się rozmaitych, mniej lub więcej szybkich, energetycznych i przenikających promieni. W skąd różnych promieni wchodzi: protony, deutrony, cząsteczki  $\alpha$  (neutrony, elektrony, pozytrony i wreszcie promienie  $\gamma$  czyli kwanty energii świetlnej).

Deuteron jest to najprostsze jądro atomowe: składa się z jednego protonu i jednego neutronu. Jest to tak zwany ciężki wodór. Cząsteczka  $\alpha$  jest jądrem helu.

Promienie te w zależności od składu, posiadają odmienne właściwości. Dzięki czemu można je zidentyfikować i w ten sposób zaszł o zaszł reakcji jądrowej.

Protony, deutrony i cząsteczki  $\alpha$  posiadają ładunek dodatni, powodują więc jonizację napotykanymi atomów wobec czego można je łatwo obserwować. Dzięki swojej dość znacznej masie błędna w każdej materii drogą prostą nie odchyłając się pod działaniem sił elektrycznych w innych atomach. Przebyta droga warstwa wraz z energią. Odpowiednio grubym ekranem można promienie nawiązać z pewnymi z powyższych cząstek zachować całkowicie.

Elektrony i powstające przy niektórych przemianach jądrowych pozytrony mają masę 1840 razy mniejszą od protona, są one własności tych promieni. Jonizują one znacznie słabiej. Droga ich jest bardzo kręta, gdyż ulegają odchyleniu przy wszystkich mijaniach blisko atomów. Łatwo również ulegają odchyleniu pod działaniem względnie słabego pola magnetycznego lub elektrycznego. Przy dużych energiach szybkość ich zbliża się z powodu małej masy do szybkości światła, wobec czego masę ich staje się zgodnie z teorią względności większą, co trzeba uwzględnić przy obliczeniach. Powinno się różnić się od elektronów tylko dwiema cechami: odwrotnym znakiem ładunku oraz brakiem spoczynkowej energii. W ciągu sekundy pozytron napotykałby elektron i zniszczył się z nim wzajemnie, wytwarzając dwa kwanty światła równoważne pod względem energii masie rhydu czarnieckiego.

Neutrony jako najbardziej przenikliwe nie wywołują jonizacji. Rozpoznać je można po jonizacji wtórnej, wywołanej przez najeżdżające cząsteczki (szczególnie protony), które uzyskały odpowiednią energię kinetyczną dzięki bezpośredniemu zderzeniu z neutronami. Wskutek braku jakiegokolwiek ładunku przenikliwość neutronów w materię jest ogromna. Stojąc nawet najgrubsze ekrany nie sposób całkowicie ich zatrzymać, można jedynie zmniejszyć liczbę neutronów przenikających poprzez ekran. Jako materiały ekranujące używa substancji zawierających wodór.

Promienie  $\gamma$  określić się jako promienie elektromagnetyczne o bardzo krótkiej fali i stał o obfitej liczbie cząstek. Takie pojmowanie jest jednak dla fizyki atomowej zupełnie bezużyteczne. Zachowanie ich jest raczej zupełnie podobne do cząstek (kwantów), których energia wynosi:

$$E = h \cdot f = \frac{hc}{\lambda}$$

$$\text{a pęd } P = \frac{h \cdot f}{c} = \frac{h}{\lambda}$$

Podobnie do neutronów, promieni  $\gamma$  nie można wykryć bezpośrednio, posiadają one jednak trzy drogi współdziałania z materią, dzięki czemu ich wykrycie staje się łatwe. Pierwsza droga, to znane zjawisko Comptona dyspersji elektronów polegająca na tym, że kwanty energii  $\gamma$  zderzając się z elektronami przekazują im część swojej energii i swojego pędu zgodnie z prawami mechaniki o zachowania energii pędu przy zderzeniach elastycznych. Elektrony te są z kolei zdolne do jonizowania i mogą być wykryte. Druga droga, to również dobrze znane zjawisko fotoelektryczne, wspomniane poprzednio. Wreszcie trzecia droga, to powstawanie w materii pod wpływem kwantów świetlnych pary zbudowanej z elektronu i pozytrona, proces odwrotny do przedtem opisanego procesu unikatowania. Kwanty muszą mieć jednak pewną minimum energię (1,02 MeV), ponieważ której powyższe zjawisko nie powstaje. Wyżej wymienione trzy procesy powodują absorpcję promieni  $\gamma$ . Do ich ekranowania używa się ołowiu. Jednak podobnie jak to ma miejsce przy neutronach nie można całkowicie zniszczyć promieni  $\gamma$ , a jedynie osłabić ich intensywność czyli zmniejszyć liczbę kwantów.

Poza wymienionymi należy jeszcze wspomnieć o cząsteczkach, występujących w promieniotworzeniu komplementarnym, zwanych mezonami. Ich jednak rolę w fizyce jądrowej elektronu, lecz mają swoją masę spoczynkową. Są one niestrawne i pochodzenie ich nie jest jeszcze znane.

Na zakończenie pożyteczne będzie podać szereg danych liczbowych.

Jednostką energii używaną w fizyce atomowej jest elektron Volt (w skrócie e. V) oraz jednostka milien razy większa MeV. Jest ona bardzo praktyczna, gdyż od razu okazuje energię jaką posiada cząsteczka o elementarnym ładunku (elektronu) przy danym napięciu przyspieszającym. Z zależności

$$1 \text{ kulomb} = 3 \cdot 10^9 \text{ J. E. S.}$$

$$\text{kul. volt} = \text{wat. sek.} = 10^7 \text{ ergów}$$

$$\text{stał } 1 \text{ eV} = 1.6 \cdot 10^{-19} \text{ erg; } 1 \text{ MeV} = 1.6 \cdot 10^{-6} \text{ erg.}$$

Poraz tym można określić energię przy pomocy masy.

Z równości  $E = m c^2$  łatwo wyliczyć, że

$$1 \text{ MeV} = 0,0011 \text{ [masy atomowej]}$$

A oto kilka charakterystycznych przykładów liczbowych ilustrujących rząd wielkości rozmaitych procesów energetycznych w atomach.

1) Gazowa stała termodynamiczna, inaczej stała Boltzmanna, określająca przyrost energii kinetycznej molekuly idealnego gazu przy ogrzaniu o  $1^\circ\text{C}$ , jest równa

$$k \approx 1,4 \times 10^{-16} \text{ erg} \approx 8,6 \times 10^{-5} \text{ eV}$$

Można obliczyć przyrost masy molekuly. Wyniesie on

$$0,0011 \cdot 8,6 \cdot 10^{-16} \approx 9,25 \cdot 10^{-19} \text{ w skali atomowej}$$

Wielkość enikomo mała, najdokładniejsze obecnie metody pomiarowe wykrywają różnicę w masie zaledwie do 5-go znaku dziesiętnego.

2) Kwanty świetlne wywołane zmianą poziomów energetycznych przez elektryczny zewnętrznej warstwy.

Np. słaby charakterystyczny promień sodu (linia

D) o długości fal  $\lambda = 5893 \text{ \AA}$  (1 Angstrom =  $10^{-8} \text{ cm}$ ) ma energię

$$E = h \cdot f = \frac{h \cdot c}{\lambda} \approx 3,3 \cdot 10^{-12} \text{ erg} = 2 \text{ eV}$$

3) Tego rzędu wielkości jest również energia potrzebna dla wydalenia elektronu z zewnętrznej warstwy, czyli dla jonizacji atomu. Potencjał jonizacyjny dla różnych pierwiastków ma wartość w granicach 5 – 25 woltów.

Np. dla wodoru 13,6 V

dla baru (Ba) 5,2 V

Stąd energia (praca) jonizacji

$$\text{wodoru} = 13,6 \text{ eV} = 21,7 \cdot 10^{-12} \text{ erg}$$

$$\text{baru} = 5,2 \text{ eV} = 8,32 \cdot 10^{-12} \text{ erg}$$

4) Kwanty promieni rentgenowskich.

Np. pospolita linia widmowa  $\alpha, K$  dla wolframu, odpowiadająca przejściu elektronu z warstwy L do najgłębszej warstwy K posiada długość fal

$$\lambda (\alpha, K) \approx 0,2 \text{ \AA}$$

Względ energii

$$E = \frac{h \cdot c}{\lambda} = 4,1 \cdot 10^{-7} \text{ erg} = 0,06 \text{ MeV}$$

Jak widać napięcie w lampie rentgenowskiej dla wywołania tych promieni musi przekraczać 60.000 V.

5) Energia cząsterek  $\alpha$  wydzielanych z radu (ze stadium RaC) wynosi

$$E \approx 7,7 \text{ MeV} \approx 1,23 \cdot 10^{-5} \text{ erg (na jedną cząsteczkę } \alpha)$$

Jeżeliśmy chcieli termodynamicznie określić „temperaturę” tego procesu należy energię podzielić przez stałą Boltzmanna  $k$

$$\text{Otrzymamy } T = 1,23 \cdot 10^{-5} / 1,4 \cdot 10^{-16} \approx 9 \cdot 10^{10} \text{ }^\circ\text{C}$$

6) Hipotetyczna energia złączenia dwóch protonów i dwóch neutronów w jądro helu.

$$\text{Ubytek masy wyniesie } 4 \times 1,00812 - 4,00388 = 0,02346$$

$$\text{stąd } E = 4 \cdot 25 \cdot 10^{-8} \text{ erg} \approx 27 \text{ MeV}$$

„temperaturę” procesu wyniosłoby  $3 \cdot 10^{11} \text{ }^\circ\text{C}$

7) Rząd wielkości energii wydzielonej przez jeden atom uranu  $\text{U}^{235}$  przy rozpadzie wynosi  $E = 200 \text{ MeV} = 3,2 \cdot 10^{-4} \text{ erg}$

Dla lepszego uświadomienia wyżej podanych wielkości należy przypominąć, że liczba Avogadro czyli ilość atomów w gramie wynosi  $6,06 \cdot 10^{23}$ . Stąd np. w gramie radu jest atomów około  $2,7 \cdot 10^{21}$  z czego w każdej sekundzie około  $10^{11}$  rozpada się wyrzucając cząsteczki  $\alpha$ . Stąd energia wydzielona w każdej sekundzie przez gram radu wynosi  $1,23 \cdot 10^{-3} \cdot 10^{11} = 1,23 \cdot 10^8 \text{ erg}$ .

Bomba atomowa zawiera, jak podają niektórzy, około 2 kg uranu  $\text{U}^{235}$  co stanowi około 8 gram atomów. Ilość atomów uranu wynosi zatem  $48,5 \cdot 10^{23}$ . Ilość energii przy wybuchu wobec tego wyniesie:

$$E \approx 3,2 \cdot 10^{-4} \cdot 48,5 \cdot 10^{23} \approx 1,55 \cdot 10^{21} \text{ ergów} = 1,55 \cdot 10^{14} \text{ dżułów}$$

Co stanowi około 37 miliardów kkal lub przestwie 40 milionów kWh.

Ilość węgla potrzebną dla wydalenia przy spalaniu równoważnej ilości energii wynosi około 4,5 tysiąca ton

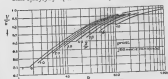
# Zasilanie odbiorników i wzmacniaczy z sieci prądu zmiennego

(Dokończenie)

Na pierwszym kondensatorze otrzymujemy zależnie od wartości  $r, R, C$ , tętnienie rzędu 5 — 30%, a zatem musimy zastosować filtry, które zmniejszyłyby tętnienie do dopuszczalnych wiel-

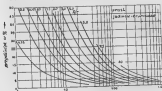
kości. Wykresy te odnoszą się do prostownika jednokierunkowego.

Wykresy 8a i 8b podają te same zależności dla prostownika dwukierunkowego.



Rys. 7a

kości. Omówienie (trów podajemy dalej), obecnie zamienimy się określeniem wielkości lampy, kondensatora, transformatora itp.



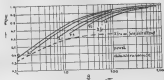
Rys. 7b

Rozważania matematyczne oraz wyprowadzenie wzorów jest dość skomplikowane i przeciętnego amatora nie zainteresuje. Dlatego ograniczymy się do podania gotowych wykresów, które zaczerpnęło z artykułu R. O. Mithel'a z Wireless Engineer Sept. 1943.

Wykres na rys. 7a podaje zależność  $\frac{V}{E}$  od stosunku  $\frac{R}{r}$  dla różnych wartości  $\frac{X}{r}$ .

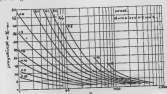
$$t. j. \frac{1}{C \cdot 6.28 f \cdot r}$$

Wykres na rys. 7b podaje % tętnienia (skut. wartość) w zależności od stosunku  $\frac{R}{r}$ .



Rys. 8a

Według tych wykresów potrafimy obliczyć tętnienie, kondensator, napięcie transformatora (w biegu luzem).



Rys. 8b

Pozostałe nam określenie typu lampy prostowniczej, prądu stałego w zwolnieniu wtórnym, transformatora (mierzącej dla nagrzania uzwojenia) oraz mocy transformatora.

## Oznaczenia

$E$  — Amplituda napięcia wtórnego transformatora zasilającego 1 diodę (V).

$V$  — średnie napięcie wyprostowane (V).

$\Delta V$  — amplituda napięcia tętnienia (składowej zmiennej) (V).

$s = \frac{\Delta V}{V} \cdot 100\%$  — tętnienie w procentach (przybliżenie).

$g = \frac{\Delta V / \sqrt{2}}{V} \cdot 100\%$  — skuteczna wartość napięcia tętnienia w procentach.

$2\Phi$  = kąt ładowania kondensatora.

$I$  = prąd obciążenia prostownika (A)

$I_v$  = średni prąd w lampie (dla dwukierunkowego  $I_v = \frac{I}{2}$ ) (A)

$I_{max}$  = maksymalna chwilowa wartość prądu w lampie (A)

$R$  = opór obciążenia prostownika =  $\frac{V}{I}$  (Ω)

$R_a$  = opór lampy prostowniczej (Ω)

$R_z$  = opór uzwojenia wtórnego transformatora (w dwukierunkowym jednej połowki uzwojenia) (Ω)

$R_p$  = opór uzwojenia pierwotnego (Ω)

$n$  = przekładnia  $\approx \frac{F_2}{F_1}$

skuteczna wartość napięcia wtórnego  
skut. wartość napięcia pierwotnego

$R_t = R_a + n^2 R_p$  = opór transformatora

$r$  = całkowity opór ładowania =  $R_a + R_z + R_p n^2$  (Ω)

$E_{zw}$  = maksymalne napięcie zwrotne między anodą i katodą (V)

$t_c$  = prąd chwilowy kondensatora C... (A).

$C$  = pojemność pierwszego kondensatora (F).

$X$  = opór pojemnościowy kondensatora C.

$$= \frac{1}{C \cdot 0,38 f} = \dots (Ω)$$

$f$  = częstotliwość sieci... (r/s)

$D$  = moc tracona na anodzie lampy prostowniczej... (W).

$I$  = skuteczna wartość prądu uzwojenia wtórnego... (A).

$I_v$  = skuteczna wartość prądu w uzwojeniu pierwotnym... (A)

$P_a$  = moc pożądana uzwojenia wtórnego. (A).

$P_p$  = moc pożądana uzwojenia pierwotnego. (A).

$P_t = \frac{P_a + P_p}{2}$  = moc obliczeniowa (typowa) transformatora... (VA)

$L$  = indukcyjność dławika Ełtr. (H).

$C_t$  = pojemność kondensatora Ełtr... (F).

$R_t$  = opór filtrujący... (Ω)

$U_o$  = napięcie wyprostowane po filtrze. (V).

$R_o$  = opór obciążenia =  $\frac{U_o}{I}$ ... (Ω)

$F$  = filtracja = stosunek napięcia tępienia przed filtrem do napięcia tępienia po filtrze.

#### Wybór lampy prostowniczej.

Wielkość lampy prostowniczej określona jest:

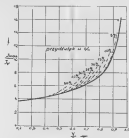
1) maksymalną wartością prądu  $I_{max}$

2) mocą traconą na anodzie lampy (D);

3) maksymalnym zwrotnym napięciem występującym pomiędzy anodą i katodą w czasie nieprzewodzenia prądu ( $E_{zw}$ ).

#### 1) Maksymalny prąd lampy.

Jak widzimy z rysunku 5 i 6\*) przez lampę płynę krótkotrwały impuls, którego wartość szczytowa ( $I_{max}$ ) jest kilkakrotnie większa od średniego prądu lampy ( $I_v$ ).



Rys. 9

Dopuszczalna wartość prądu szczytowego zależy od wielkości katody i jej mocy.

Jżeli zastosujemy lampę nieodpowiednią i przekroczymy dopuszczalną jej emisję, lampy ulegnie szybkiemu zużyciu.

Przy stosowaniu lamp röntgenowych, przy przekroczeniu maksymalnego prądu następuje rozpad katody na skutek wzmożonego bombardowania jonami gazu.

Wykres na rys. 9 przedstawia zależność sto-

sunku  $\frac{I_{max}}{I_v}$  od  $\frac{V}{E}$  i tępienia.

Z dobrym przybliżeniem obliczyć można tę wartość przyjmując, że prąd ładowania wywołany jest różnicą napięć  $E - V$ .

$$I_{max} \approx \frac{E - V}{r} \dots (5)$$

Normalnie firmy podają dopuszczalne wartości szczytowego prądu.

#### 2) Moc tracona na anodzie lampy (D).

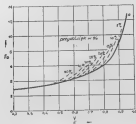
W czasie przepływu prądu przez lampę, występuje w niej spadek napięcia, a zatem traci się moc (D).

Moc ta określona jest równaniem

\*) Rys. Nr 4, str. 18.

$D = I_a^2 \cdot R_a \cdot F_0$  — wátów . . . (8)  
gdzie:

$I_a$  — średni prąd lampy;  
 $R_a$  — opór wewnętrzny lampy.  
 $F_0$  — współczynnik z wykresu (10)



Rys. 10

Mocy admysyjnej danej lampy również przekroczyć nie można, ponieważ może ulec zniszczeniu anoda, albo na skutek dużego nagrzania, wydzielą się z anody gazy, a przez to pogorszy się próżnia.

W katalogach lamp podane są te wartości. Orientacyjnie możemy określić moc admysyjną lampy z wielkości anody; mianowicie tyle wátów można stracić na lampie 16 cm<sup>2</sup> powierzchni E, czy też anody.

### 3) Napięcie zwrotne. (E<sub>zw</sub>).

W czasie gdy lampy nie przewodzi pomiędzy katodą a anodą istnieje napięcie równe sumie napięcia stałego i amplitudy napięcia zmiennego na transformatorze.

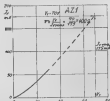
$$E_{zw} = V + E \quad . \quad . \quad . \quad . \quad . \quad (7)$$

Jeżeli lampy odbiorczą nie podgrzały się ( $R = \infty$ ) wtedy napięcie zwrotne równe jest  $E_{zw} = 2E$ .

Wielkość napięcia zwrotnego jest bardzo ważna, bo jeżeli przekracza wartość dopuszczoną przez firmę, nastąpić może przebiecie, albo wskutek nagrzania anody może nastąpić emisja elektronów z anody i przez to zwarcie transformatora.

Największe niebezpieczeństwo występuje przy lampach gazowanych, przy których następuje tak zwany zwrotny zapłon, a przez to zniszczenie lampy i transformatora. Przy obciążeniu prostowników suchych (np. sekenowych) napięcie zwrotne określa ilość płytek. Przy przekroczeniu dopuszczalnego napięcia zwrotnego prostownik ulegnie zniszczeniu.

Wz wzorach spotykaliśmy wielkości  $R_a$ , to jest opór wewnętrzny lampy prostowniczej. O ile nie mamy tej wielkości z katalogu możemy określić z wykresu 1a (= 1 (V)) jak to przedstawił rysunek 11.



Rys. 11

Poniższa tabela podaje wartości  $R_a$  dla niektórych lamp.

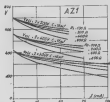
| Lampa            | 8Z  | 8Z <sub>1</sub> | 8Z <sub>2</sub> | 8Z <sub>3</sub> | 8Z <sub>4</sub> | 8Z <sub>5</sub> | 8Z <sub>6</sub> | 8Z <sub>7</sub> | 8Z <sub>8</sub> |
|------------------|-----|-----------------|-----------------|-----------------|-----------------|-----------------|-----------------|-----------------|-----------------|
| R <sub>a</sub> Ω | 400 | 225             | 400             | 250             | 100             | 100             | 220             | 220             | 60              |

| Lampa            | 8Z <sub>9</sub> | 8Z <sub>10</sub> | 8Z <sub>11</sub> | 8Z <sub>12</sub> | 8Z <sub>13</sub> | 8Z <sub>14</sub> | 8Z <sub>15</sub> | 8Z <sub>16</sub> | 8Z <sub>17</sub> |
|------------------|-----------------|------------------|------------------|------------------|------------------|------------------|------------------|------------------|------------------|
| R <sub>a</sub> Ω | 440             | 380              | 80               | 450              | 380              | 270              | 225              | 110              | 100              |

Dla ułatwienia, firmy podają również w katalogach lamp zależność napięcia wyprostowanego od prądu stałego przy danym napięciu transformatora.

Rys. 12, podaje nam wykres dla lampy AZI.



Rys. 12

$R_t$  oznacza całkowity opór transformatora, to jest uzwojenia wtórne i pierwotnego przeniesionego na stronę wtórną.  $R_t = R_s + n^2 R_p$ .

Np. Transformator o napięciu  $2 \times 300$  V opór uzwojenia wtórnego  $R_s = 100$  omów, opór uzwojenia pierwotnego  $R_p = 50$  omów, przekładnia

$$n = \frac{300}{220} = 1,36$$



(22) napięcie sieci na uzwojeniu pierwotnym,  $R_1 = R_2 = a^2$ ,  $R_p = 100 + 1,35a$ ,  $50 = 100 +$   
 $+ 93 = \sim 200$ . Przy kondensatorze 16 pF i prądzie 75 mA uzyskamy napięcie stałe  $V = 290$  volt.

#### Obliczenie wielkości transformatora.

Z wykresu na rys. 7a lub 8a odczytamy stosunek  $(V/E)$ , a stąd obliczymy napięcie wtórne.

$$E = \frac{V}{(V/E)} \quad (8)$$

Wartość skuteczną  $E_s = \frac{E}{\sqrt{2}}$ ; wartość ta jest to napięcie skuteczne uzwojenia wtórnego przy biegu luzem\*).

Dla dwukierunkowego prostowania wtórne uzwojenie ma mieć  $2 \times E_s$ .

Prąd skuteczny (miarodajny dla nagrzania uzwojenia) obliczamy z równania:

$$I_s = I_v \cdot \sqrt{P_F} \quad (9)$$

$I_v$  — średni prąd lampy

$P_F$  — współczynnik z wykresu (10)

Prąd w uzwojeniu wtórnym płynię impulsami i wielkość jego wcale nie równa się prądowi obciążenia  $I$ , jak to często podaje się, a jest większa.

Przy prostowniku jednopółkowy, w uzwojeniu wtórnym płynię również prąd stały, co po porażce warunki pracy transformatora (nasytanie prądem stałym).

#### Moc uzwojenia wtórnego:

$$P_2 = E_2 I_2 \quad (10) \text{ dla jedнокierunkowego}$$

$$P_2 = 2 \cdot E_2 I_2 \quad (11) \text{ dla dwupółkowego}$$

#### Prąd pierwotny:

Transformator przenosi tylko energię prądów zmiennych, zatem prąd pierwotny równy się:

$$I_1 = n \cdot I' \sqrt{P_F} \quad (12) \text{ dla jednopółk. oraz}$$

$$I_1 = n \cdot I_2 \sqrt{2} \quad (13) \text{ dla dwupółk.}$$

$$n = \text{przekładnia} = \sim \frac{E_2}{E_1}$$

#### stąd moc uzwojenia pierwotnego

$$P_1 = E_1 I_1 = E_1 \cdot n \cdot I' \sqrt{P_F}$$

$$\text{a ponieważ } E_2 = \frac{E_1}{n}$$

$\therefore P_1 = E_2 \cdot I' \sqrt{P_F} \quad (14) \text{ dla jednopółk. oraz dla dwupółkowego}$

$$P_1 = E_2 \cdot I_2 = E_2 \cdot n \cdot I_2 \cdot \sqrt{2} \quad \text{czyli}$$

$$P_1 = E_2 I_2 \sqrt{2} \quad (15a)$$

$$P_1 = \frac{P_2}{2} \sqrt{2} = \frac{P_2}{\sqrt{2}} \quad (15b) \text{ dla dwupółkowego}$$

\* przy obliczaniu strat zwojów w transformatorze, nie należy już uwzględniać spadku napięcia.

Jak więc widzimy potrzebna moc uzwojenia pierwotnego jest mniejszą od mocy uzwojenia wtórnego.

Dla obliczenia wymiarów transformatora wprowadzamy się tak zwaną **moc typową** równą średniej z mocy wtórnej i pierwotnej.

$$P_t = \frac{P_1 + P_2}{2} \quad (16)$$

Dla zilustrowania obliczamy dwa przykłady:

#### Przykład 1.

Prostownik jednopółkowy ma dać napięcie wyprostowane  $U_o = 300$  woltów i prąd wyprostowany  $I = 60$  mA, lampa prostownicza AZ1 z dwiema anodami spiętymi, a zatem  $R_a = 200 \Omega$ .

Obliczyć napięcie transformatora i tętnienie na pierwszym kondensatorze o wartości 8 pF.

Opór diawka  $R_{di} = 500 \Omega$

Do obliczenia potrzebna nam jest najmniejsza oporu transformatora. Przyjmujemy ją jako równą  $3 - 4\%$  oporu obciążenia, i po konstrukcyjnym obliczeniu transformatora sprawdzamy i korygujemy.

Obliczamy najpierw opór obciążenia

$$R = R_o + R_{di} = \frac{U_o}{I} + R_{di} = \frac{300}{60 \cdot 10^{-3}} + 500 = 5500 \Omega$$

zatem całkowite napięcie wyprostowane ma wynosić

$$V = 300 + 60 \cdot 500 = 330 \text{ woltów}$$

opór transformatora w przybliżeniu  $r_t =$

$$= \frac{3 \cdot 5500}{100} \sim 165 \Omega$$

$$\text{zatem } r = R_o + R_t = 200 + 160 = 360 \Omega$$

$$\text{obliczamy } \frac{X}{r} = \frac{1}{C \cdot 6,28 f_r} =$$

$$= \frac{1}{8 \cdot 10^{-6} \cdot 6,28 \cdot 50 \cdot 330} = 1,13$$

$$\frac{R}{r} = \frac{5500}{360} = 15,7$$

$$\text{z wykresu 7a } \frac{V}{E} = 0,71$$

stąd amplituda napięcia transformatora

$$E = \frac{V}{\left(\frac{V}{E}\right)} = \frac{330}{0,71} = 465 \text{ (V)}$$

$$E_2 = \frac{465}{\sqrt{2}} = 328 \text{ woltów}$$

tętnienie z wykresu 7b — 13%

amplituda prądu z wykresu 9

$$\frac{I_{max}}{I_v} = 6,4 \text{ stąd}$$

$$I_{max} = 6,4 \cdot I_v \quad I_v = I = 60 \text{ mA}$$

$$I_{max} = 6,4 \cdot 60 = 384 \text{ mA}$$

## Prąd wiązny

$$I_2 = I_v \cdot \sqrt{P_0}$$

$$\text{z wykresu 10} \quad F_D = 5$$

$$I_2 = 60 \cdot \sqrt{5} = 134 \text{ mA}$$

$$\text{Moc wtórna} = E_2 \cdot I_2 = 328 \cdot 0,134 = 43,5 \text{ VA}$$

$$\text{moc pierwotna } P_1 = E_2 \cdot \sqrt{I_2} \cdot \sqrt{P} =$$

$$= 328 \cdot \sqrt{134} \cdot 0,01 = 328 \cdot 120 = 40,5$$

$$\text{moc transformatora } P_T = \frac{43,5 + 40,5}{2} = 42 \text{ VA}$$

## Przykład 2.

Obliczamy teraz ten sam prostownik, ale jako dwupółkowy

$$R = 5500 \quad R_1 = 150 \Omega \quad R_2 = 400 \Omega$$

$$r = 400 + 150 = 550 \Omega$$

$$\frac{R}{r} = \frac{5500}{550} = 10 \text{ z wykresu 8a}$$

$$\frac{X}{r} = \frac{1}{8 \cdot 10^{-4} \cdot 6,28 \cdot 50 \cdot 550} = 0,72$$

$$\frac{V}{E} = 0,73$$

$$E_2 = \frac{320}{0,73} \cdot 1 = 320 \text{ V}$$

zatem  $2 \times 320$  voltów  
tętnienia z wykresu (Eb) — 6,5%

Maksymalny prąd w lampie  
z wykresu (9)

$$\frac{I_{\max}}{I_v} = 0,7 \quad I_v = \frac{I}{2} = \frac{60}{2} = 30 \text{ mA}$$

$$I_{\max} = 30 \cdot 0,7 = 21 \text{ mA}$$

## Prąd wiązny

$$F_D = 5,1 \quad I_2 = \sqrt{P_0} \cdot 30 = 68 \text{ mA}$$

Moc wtórna

$$P_2 = 2 \cdot 320 \cdot 0,068 = 42,5 \text{ VA}$$

Moc pierwotna

$$P_1 = \frac{P_2}{\sqrt{2}} = \frac{42,5}{\sqrt{2}} = 30 \text{ VA}$$

$$P_T = \frac{42,5 + 30}{2} = 36,2 \text{ VA}$$

## Filtry

Jak widać, filtry z przykładów tętnienia na pierwszy kondensator wynosi od kilku do kilkuset procent napięcia stałego.

Aby tętnienie zmniejszyć do wielkości dopuszczalnych (0,03% itp.) musimy pomiędzy pierwszy kondensator a obciążenie włączyć filtr.

Jeżeli weźmiemy pod uwagę przykład drugi, to dla zmniejszenia tętnienia do wartości 0,03% musimy zastosować filtr, który osłabi tętnienie

$$\frac{6,5}{0,03} = 130 \text{ razy.}$$

Miejsny filtr prądów odciały tylko składowa zmienną, nie wprowadzając spadku napięcia stałego. W praktyce elementy filtru (diody itp.) posiadają pewne straty (opór omowy) po wdujące spadek napięcia stałego



Rys. 13



Rys. 14



Rys. 15

Zależnie od skuteczności rozróżniamy filtry diawkowe, rezonansowe i oporowe (rys. 13, 14, 15).

W praktyce awatorskiej mają zastosowanie filtry diawkowe (rys. 13) oraz dla małych prądów filtry oporowe (rys. 15).

Filtracja F oznaczamy stosunek napięcia tętniącego przed filtrem do napięcia tętniącego po filtrze.



Rys. 16



Rys. 17

Dla układu jak na rys. 13 filtracja przy pominięciu strat elementów równa się

$$F \approx L_1 C_1 (6,28 f_c)^2 \quad (17)$$

gdzie  $L_1$  — indukcyjność dławika w henrach  
 $C_1$  — pojemność kondensatora w faradach  
dla jednociepłownikowego częstotliwość tętnienia  $f_c = 50 \text{ Hz}$   
dla dwupółkowego  $f_c = 100 \text{ Hz}$

Filtracja dla układu jak na rys. (15) wynosi:

$$F \approx R_1 C_1 6,28 f_c \quad (18)$$

$R_1$  — opór w omach; inne oznaczenia jak powyżej.

Często przy wymaganej dużej filtracji wygodniej jest stosować filtry dwu lub więcej stopni.

mówie jak to przedstawia rys. 16 i 17. Filtracja dla układu jak na rys. 16 wynosi:

$$F \approx (6,28 \cdot f)^2 \cdot L_1 \cdot L_2 \cdot C_1 \cdot C_2 \dots (19)$$

dla układu jak na rys. (17)

$$F \approx (0,28 \cdot f)^2 C_1 \cdot C_2 \cdot R_1 \cdot R_2 \dots (20)$$

W numerze 4 Ra podano nomogram, którym obliczyć można filtrację dla układów jak na rys. 13 i 15.

Przeliczmy przykład w zastosowaniu do prostownika obciążonego w przykładzie 2.

Prostownik dwupółkowy ( $f_L = 100$  c/s) tętnienie na pierwszym kondensatorze wynosi 6,5% w stosunku do 330 woltów, a zatem na płacie skuteczne tętnienie wynosi  $\frac{0,5 \cdot 330}{100} = 21,5$

wolta.

Jedyn prostownik ma służyć do zasilania odbiornika to napięcie tętnienia nie powinno być większe niż 0,05%.

$$\text{to znaczy } \frac{0,05 \cdot 300}{100} = 0,15 \text{ wolta}$$

(uwzględniony spadek napięcia na diodzie — 30 woltów),  
zatem filtracja wynosi

$$P = \frac{21,5}{0,15} = 143$$

$$\text{stad } L_1 (6,28)^2 C_1 = 143$$

$$L_1 \cdot C_1 = \frac{143}{(6,28)^2} \approx \frac{143}{40 \cdot 10000} = 3,6 \cdot 10^{-4} \text{ HF}$$

$$\text{obliczając kondensator } 8 \mu F = 8 \cdot 10^{-6} F$$

$$\text{otrzymamy } L_1 = \frac{3,6 \cdot 10^{-4}}{8 \cdot 10^{-6}} = 45 \text{ H.}$$

Ię samą wartość otrzymamy z nomogramu.

Koszt dławika 45 H na 60 mA grającego stalego będzie dość duży, dlatego często ekonomiczniej jest zastosować układ dwustopniowy (rys. 16).

Jeżeli założymy, że  $L_1 = L_2$  i  $C_1 = C_2$  wtedy filtracja na jeden człon wyniesie  $\sqrt{143} \approx 12$

$$\text{Dla kondensatora } C_1 = C_2 \text{ jest } 8 \mu F$$

$$L = \frac{13}{8 \cdot 10^{-6} \cdot 4 \cdot \pi^2 \cdot 100^2} = 41 \text{ H}$$

Jeżeli dwa dławiki po 41 H i dwa kondensatory będą tańsze niż dławik na 45 H i i kondensator, wtedy układ drugi będzie ekonomiczniejszy. Zaleknień od cen wykonania, rynkowych itd. należy każdorazowo przekalkulować, który wypadek będzie ekonomiczniejszy. Przy prostowniku jednokierunkowym filtry będą jeszcze większe, a tym samym droższe.

Dla tych samych warunków filtracja wymagana będzie dwa razy większa  $F = 288$ .

zasi dławik wypadnie około 8 razy większy —  $\approx 340$  H, ponieważ częstotliwość tętnienia jest dwa razy mniejsza (50 c/s).

Widać z tego, że przy dużych prądach prostownik jednokierunkowy jest nieekonomiczny

Przy małych prądach a dużych napięciach, gdzie spadek napięcia na grającej roli, stosuje się filtry oporowe i na przykład przy prostych odbiornikach względnie przy bardzo dużych kondensatorach (50 — 100  $\mu F$ ), jak to ma miejsce w odbiornikach miweczalnych. Poza tym filtry oporowe mają szerokie zastosowanie w filtracji napięć zasilających stopnie wielkiej częstotliwości i napięciowe malej częstotliwości. Oprócz tego grają one rolę filtrów odprężających. Obliczanie takich filtrów jak też oporów redukcyjnych dla poszczególnych elektrod lamp podane będzie w następnym numerze.

Na zakończenie podamy tabelkę danych obliczonych i sprawdzonych eksperymentalnie, ilustrujących słuszność podanych wzorów i wyrazów.

Prostownik jednokierunkowy  
 $E_L = 750$  woltów

| $r$<br>$\Omega$ | $R$<br>$\Omega$ | $C$<br>$\mu F$ | $\alpha$<br>$^\circ$ | $V$ (wart.)<br>wym. / zm.<br>obcz. / zm. | $\Delta$ (wart.)<br>wym. / zm.<br>obcz. / zm. | $\Delta$ (wart.)<br>wym. / zm.<br>obcz. / zm. |
|-----------------|-----------------|----------------|----------------------|--|---|---|
| 800             | 20000           | 25             | 8                    | 0,5                                      | 178   | 815   |
| 800             | 20000           | 25             | 2                    | 2  | 795   | 790   |
| 800             | 20000           | 85             | 8                    | 0,67                                     | 838   | 890   |
| 800             | 20000           | 85             | 2                    | 2,94                                     | 625   | 619   |
|                 |                 |                |                      |  |   | 3,4 3,8                                       |
|                 |                 |                |                      |  |   | 7,2 7,4                                       |
|                 |                 |                |                      |  |   | 7,9 7,4                                       |
|                 |                 |                |                      |  |   | 8,0 8,5                                       |
|                 |                 |                |                      |  |   | 14 12,6                                       |
|                 |                 |                |                      |  |   | 8,0 8,1                                       |

Prostownik dwukierunkowy.  
 $E_L = 2 \times 1000$  V

| $r$<br>$\Omega$ | $R$<br>$\Omega$ | $C$<br>$\mu F$ | $\alpha$<br>$^\circ$ | $V$ (wart.<br>wym. / zm.<br>obcz. / zm.) | $\Delta$ (wart.<br>wym. / zm.<br>obcz. / zm.) | $\Delta$ (wart.<br>wym. / zm.<br>obcz. / zm.) |      |     |     |     |
|-----------------|-----------------|----------------|----------------------|--|---|---|------|-----|-----|-----|
| 800             | 20000           | 25             | 8                    | 0,5                                      | 1239  | 1000  | 1,4  | 1,4 | 8,8 | 8,0 |
| 800             | 20000           | 25             | 2                    | 2  | 1788  | 1588  | 6,0  | 5,2 | 8,9 | 8,1 |
| 800             | 10000           | 125            | 8                    | 0,5                                      | 1002  | 1005  | 2,6  | 2,3 | 7,2 | 7,4 |
| 800             | 10000           | 125            | 2                    | 2  | 1003  | 1009  | 10,6 | 9,8 | 7,0 | 7,4 |

#### Literatura

- Wireless Engineer Sept. 1943  
A. M. Kugaszew — Elektricheskoje planie radioobornikow  
M. J. O. Strutt — Verstärker und Empfänger  
Leningrad 1935  
Berlin 1943

SKALE do radioodbiorników  
różnych typów polskie

„Kopioteknika“ Poznań

ul. W. Paszkiewicz, ul. Wierzbic'na 13. Tel. 19-55

Na prowiniją wysyłamy pocztą. Przy zamówieniach podać nazwę i typ aparatu oraz wymiar skali

# TONGENERATOR

(Generator akustyczny).

Podobnie jak dla wszelkich prac w zakresie wielkich częstotliwości potrzebny jest sygnałgenerator, tak samo dla pomiarów i badań urządzeń małej częstotliwości niedozwonym instrumentem jest generator częstotliwości akustycznych, popularnie zwany tongeneratorem. Przy jego pomocy możemy zdjąć charakterystyki częstotliwości wzmacniaczy małej cz., modulatorów, głośników, mikrofonów, transformatorów, filtrów. Możemy badać i dobrać eksperymentalnie warunki pracy lamp w wzmacniaczach, mierzyć zniekształcenia nieliniowe, sprawdzić jakość modulacji itp.



Rys. 1.

Jak więc widzimy w rękach eksperymentatora tongenerator jest doskonałym przyrządem dla konstrukcji dobrych urządzeń m. częstotliwości.

Jakim warunkom powinien odpowiadać dobry tongenerator?

Przede wszystkim powinien pokrywać zakres częstotliwości akustycznych w zakresie od 20 c/s do 20000 c/s. Jakkolwiek najwyższe częstotliwości akustyczne sięgają do ok. 15000 — 16000 c/s, to jednak dla kompletnych badań urządzeń potrzebny jest zakres do 20000 c/s (a nawet wyżej dla badań wzmacniaczy szerokopasmowych, oscylografowych itd.).

Drugą cechą charakterystyczną tongeneratora jest np. zawartość harmonicznych, czy, jak to się mówi, zniekształcenia nieliniowe. Oczywiście rzecz o tym, że jeżeli chcemy badać zniekształcenia np. wzmacniaczy, to sam tongenerator musi dawać zniekształcenia minimalne w każdym razie poniżej 1 czy 0,5%.

Przy b. dokładnych pomiarach stosuje się dodatkowe filtry, które redukują zniekształcenia tongeneratora do rzędu 0,5 promila.

Trzecią cechą jest stałość częstotliwości, która powinna być utrzymana w dopuszczonych granicach (1%).

Są to najważniejsze właściwości tongeneratorów; poza tym ze względów eksploatacyjnych pożądana jest regulacja częstotliwości w sposób ciągły, przy stałym napięciu wyjściowym dla całego zakresu

częstotliwości, oraz odpowiednia moc wyjściowa (wielkość zależna od warunków pomiarowych).

Zanim przejdziemy do opisu budowy tongenera tora, podamy krótki opis działania generatorów stosowanych w praktyce.

Z historycznego punktu widzenia pierwsze tongeneratory badawcze były na identycznej zasadzie jak generatory wielkiej częstotliwości.

Rys. 1. przedstawia układ zasilający takiego generatora w układzie Meisnera. Na skutek sprzężenia zwrotnego cewki  $L_1$  i  $L_2$  w obwodzie anodowym powstają oscylacje, których częstotliwość określona jest wartością kondensatora  $C$  i wypadkową indukcyjności  $L_1$ . Częstotliwość drgań określa w przybliżeniu znany wzór:

$$f \approx \frac{1}{2\pi \sqrt{L \cdot C}} \quad (c/s, H, F) \quad (1)$$

Jakie są wady tego rodzaju generatorów?

Przede wszystkim praktycznie nie da się wykonać układu z ciągłą regulacją częstotliwości. Częstotliwość można zmieniać skokami, włączając odpowiednie kondensatory „C” przełącznikiem. Dla uzyskania małych częstotliwości (20 — 50 c/s) wartości kondensatora  $C$  i cewki  $L_1$  wypadają dość duże.

Drugą wadą, będącą najważniejszą, jest trudność uzyskania małych zniekształceń. Mianowicie na skutek obecności żelaza (rdni) i jego nieliniowego charakteru (pętla histerozy) kształt przebiegu odłga od sinusoidy. Dlatego w praktyce robi się cewki bezrdzeniowe albo z dużą szczeliną powietrzną. Występującą zależność częstotliwości od obciążenia można zmniejszyć, dodając jeszcze jeden stopień wzmacnienia (izolator).



Rys. 2.

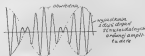
Na skutek wyżej wymienionych wad konstruktorzy opracowali tak zwany dudnieniowy typ generatora m. częstotliwości.

Pomysł ten bardzo wiele generatorów tego typu spotyka się w tej chwili na rynku, w laboratoriach i w eksploatacji ruchowej. Zapoznamy się z nimi nieco bliżej.

Ogólną zasadę działania dudnieniowego generatora przedstawia rys. 2.

W układzie pracują dwa oscylatory. Oscylator I wytwarza drgania o częstotliwości np. 100 kc/s, zaś oscylator II drgania o częstotliwości regulowanej np. od 100 kc/s do 120 kc/s.

Napięcia z obu oscylatorów nakładają się w stopniu mieszającym, na wyjściu którego uzyskujemy częstotliwość niską, będącą różnicą częstotliwości obu oscylatorów, a więc od  $(100 - 100) = 0$  c/s do  $(120 - 100) = 20$  kc/s.



Rys. 3a.

Zatem, zmieniając częstotliwość oscylatora II od 100 — 120 kc/s, otrzymamy częstotliwości w zakresie od 0 do 20 kc/s w sposób ciągły bez żadnych przeskoczeń. Takie rozwiązanie jest oczywiście bardzo wygodne.



Rys. 3b.

Jednak generatory dudnieniowe, posiadają wady, dla których usunięcia układ musi posiadać dodatkowe elementy. Aby zrozumieć te wady rozpatrzmy układ mieszający i zachodzące w nim przebiegi. Z fizyki wiadomo, że jeżeli nałożymy równocześnie na siebie dwa przebiegi, powstana tzw. dudnienie, to jest przebieg wypadkowy o zmieniającej się



Rys. 4.

amplitudą. Graficznie zależności te przedstawia rys. 3a. Jeżeli nałożymy na siebie dwa przebiegi sinusoidalne o różnych częstotliwościach i jednakowej amplitudzie, otrzymamy przebieg wypadkowy (linia gruba). Odczuwa on maksymalne wartości i zerowe. Linia kropkowana łącząca amplitudy wypadkowego przebiega nazywa się obwiednią. Jeżeli przebieg wypadkowy poddamy detekcji, popłynie prąd odpowiadający np. górnym

połówkom przebiegu (rys. 3b). Po wygładzeniu kondensatorem, otrzymamy przebieg prądu wypreżowanego jak to przedstawia linia kropkowana na rys. 3b. Jak widzimy nie jest czysta sinusoidalna, lecz składa się z podstawowej (właśnie ją chcemy otrzymać na wyjściu) oraz harmonicznych.

Jak więc widzimy, w generatorze dudnieniowym dla jakiegokolwiek częstotliwości wypadkowej otrzymamy zawsze zniekształcenia w postaci harmonicznych.

Zawartość harmonicznych zależy przede wszystkim od stosunku amplitud składowych drgań wielkiej częstotliwości. Jeżeli np. amplituda oscylatora drugiego będzie czterokrotnie większa od pierwszego, wtedy przebieg wypadkowy (wypreżowany) będzie już zbliżony bardziej do sinusoidy (rys. 4), a zniekształcenia wyrażone w procentach wyniosą około 6%. Rys. 5. przedstawia stosunek harmonicznej drugiej i trzeciej do podstawowej wyrażony w procentach, w zależności od stosunku amplitud mniejszej i większej. Widzimy, że np. dla uzyskania krzywej m. cz. o zniekształceniach nie większych niż 1%, stosunek amplitud nie powinien być większy 0,65 czyli amplituda oscylatora np. II powinna być 20 razy większa od oscylatora I. Zatem dobierając odpowiednio amplitudy oscylatorów, możemy



Rys. 5.

zmniejszyć zniekształcenia. Z drugiej strony ponieważ amplituda napięcia m. częstotliwości równa się w przybliżeniu amplitudzie mniejszego sygnału w. cz., musimy stosować wzmacniacze m. cz. odcem uzyskania odpowiedniej wielkości napięcia wyjściowego.

Ponieważ w obwodzie stopnia mieszającego płyną prądy wielkiej częstotliwości, musimy je odfiltrować układami cewek i kondensatorów.

Drugą wadą generatorów dudnieniowych są zniekształcenia tonów niskich (20 — 100 c/s) na skutek wzajemnego oddziaływania oscylatorów I i II. Miałoby być częstotliwości obu oscylatorów I i II różnią się o kilkadziesiąt cykli/s, następuje wzajemna synchronizacja przez co kształt krzywej wypadkowej jest bardzo zniekształcony. Wadę tę usuwa się stosowaniem wzmacniaczy izolujących, po każdym oscylatorze; stopień mieszający następuje dopiero po tych wzmacniaczach. Istnieją poza tym różne układy przeciwdziałające tym zjawiskom.

Trzecią wadą generatorów dudnieńowych jest konieczność stosowania kondensatora zmiennego oscylatora II o specjalnym wykończeniu, tak aby uzyskać na skali „rozciągnięty” zakres częstotliwości najniższych. Przy stosowaniu zwykłych kondensatorów, zakres częstotliwości od 30 do 100 jest bardzo skrócony i praktycznie nie użyteczny. Dla uniknięcia tej wady stosuje się, jak już powiedzieliśmy, kondensator o specjalnym wykończeniu, albo, jak w wykonaniu firmy „Philips”, stosuje się również w oscylatorze I zmienny kondensator, dający przy pewnym położeniu kondensatora oscylatora II zmienny zakres częstotliwości od 1000 c/s, zaś kondensatorem II uzyskuje się zakres do 15000 c/s. Generator taki posiada więc 2 skale, dla niższych i wyższych częstotliwości.

Istnieją również rozwiązania, w których zmienia się równocześnie częstotliwość w obu oscylatorach (dwa kondensatory na jednej osi) i przez dobranie odpowiednich stałych obwodu, uzyskuje się rozciągnięcie zakresu częstotliwości niskich.

Oprócz tych wad, powstają jest również niedostateczna stałość częstotliwości i w związku z tym istnieje konieczność sprawdzania i doregulowania np. przez porównanie z częstotliwością sieci; mianowicie na częstotliwości 50 c/s uzyskuje się dudnienie wskaznika (neonówka lub magnetyczna) albo też wyrównuje się układ na zero cykli (wskaznikiem jest tu przyrząd pomiarowy).

Układ wyrównuje się zmianą pojemności małego kondensatora włączonego równolegle do obwodu oscylatora II.

W tej chwili na rynku najwięcej jest właśnie generatorów dudnieńowych.

Dla ze zrozumienia Cześćników przedstawiamy układ takiego generatora. (rys. 6).

W tej samej lampie odbywa się mieszanie; anoda lampy ECH 11 zwarta jest obwodem La Ca dla częstotliwości oscylatora stałego (5).

Oscylator I pracuje w układzie Hartley'a, zaś oba odcepy na cewce wykonanie są w  $\frac{1}{2}$  uwrótnienia. Na oporach anodowym każdą otrzymuje się napięcie m. częstotliwości oraz składowe wielk. Dwustopniowy filtr tłum. wielką częstotliwość tak, że w efekcie na siatkę lampy końcowej przedstawia się tylko napięcie małej częstotliwości.

Lampa końcowa EL11 wytwarza na oporach anodowych (dzielnik) napięcie rzędu ok. 4,5 wolta. Zakres częstotliwości od 30 do 12000 c/s.

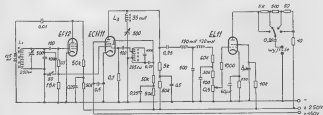
Generatory dudnieńowe były do lat wojennych niemal jedynym rozwiązaniem generatorów m. częstotliwości.

Wprowadzenie ujemnej reakcji w układach małej częstotliwości oraz układów oporowej pojemnościowych nasunęły konstruktorom myśl zbudowania generatorów małej częstotliwości bez elementów indukcyjnych.

Aby zrozumieć działanie tego rodzaju generatorów przypomnijmy sobie najpierw w jakich warunkach mogą powstać oscylacje.

Z teorii oscylatorów wynika, że: aby układ mógł oscylować samodzielnie należy wprowadzić pomiędzy siatkę a katodę część zmiennego napięcia anodowego o wielkości określonej wzmożeniem układu i o fazie przesuniętej, to jest przesuniętej o  $180^\circ$  w stosunku do napięcia anodowego.

Na przykład, aby układ z rys. 1 mógł oscylować, to — gdy wzmożenie układu wyniesie np. 50, a zmienne napięcie anodowe wynosi 160V, wtedy dla utrzymania oscylacji, napięcie ujemne pomiędzy



Rys. 6.

Oscylator II (zmienny), zbudowany jest na lampie EF12. Cewki nawinięte są na rdzeniu „krzyżowym”.

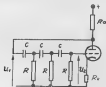
Oscylator I (stały) pracuje na częst. trójdowej lampy ECH11.

dzi siatkę a katodą wynosić musi  $\frac{f \cdot 100V}{50} = 2V$ ,

przy czym kierunek nawinięcia wstawienia włócono musi być taki, że dla dodatnich napięć na anodzie, na siatce musi być napięcie ujemne.

Powstala zatem myśl, aby w zwykłym wzmacniaczu oporowym sprządzić anodę z siatką poprzez układ sporów i kondensatorów, który by dał przesunięcie fazy  $180^\circ$  i odpowiednie osłabienie napięcia.

Pojedyńczy człon CR może w najlepszym wypadku dać przesunięcie fazowe  $90^\circ$ . Zatem dając dwa człony tego rodzaju, osiągniemy już teoretycznie przesunięcie fazowe  $180^\circ$ . W praktyce jest to nie osiągalne i stosuje się 3 człony RC, dające przesunięcie wypadkowe  $180^\circ$ . Osłabienie  $\frac{U_2}{U_1}$  wywołane takim układem wynosi 29, a zatem aby układ oscylował, lampa musi dać wzmacnienie równe lub większe od 29.



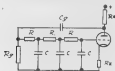
Rys. 7.

Przesunięcie fazowe  $180^\circ$  zaistnieje dokładnie tylko dla jednej częstotliwości określonej wzorem:

$$f_c = \frac{1}{2\pi \cdot 6 \cdot RC} = (c/s, \Omega, F) \quad (2)$$

W ten sposób oscylacje powstaną tylko dla jednej częstotliwości: krzywa będzie sinusoidalna (o ile lampa nie wprowadzi nieliniowości).

Oprócz układu na rys. 7 możliwy jest również układ jak to przedstawia rys. 8.



Rys. 8.

Przesunięcie fazowe  $180^\circ$  otrzymujemy dla częstotliwości określonej wzorem:

$$f_c = \frac{1}{2\pi R C} = (c/s, \Omega, F) \quad (3)$$

Oscylacje zaś powstaną również wtedy, gdy wzmacnienie układu będzie równe lub większe od 29.

Równania na częstotliwość rezonansową zostały obliczone dla jednokrotnych sporów i kondensatorów. Nic nie stoi na przeszkodzie, by stosować różne elementy, jednak nie robi się tego ze względów praktycznych. Jak wynika ze wzorów, częstotliwość zależy od oporów, albo pojemności odwrotnie proporcjonalnie; stosując zmienne elementy R lub C, łatwo możemy pokryć zakres częstotliwości np. w stosunku 1 : 10.

Na przykład dla 3 kondensatorów obrotowych o pojemności początkowej 50pF a końcowej 500pF, możemy uzyskać zmienną częstotliwość np. od 200 — 2000 c/s. Zmieniając przełącznikiem wartości oporów, możemy w trzech pozycjach pokryć zakres od 10 c/s do 2000 c/s (29 — 290, 290 — 2900, 2900 — 29000).

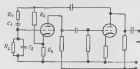
Praktycznie jednak oba układy nadają się dla generatorów o stałej częstotliwości.

W pierwszym wypadku (rys. 7) trudno jest znaleźć kondensatory zmienne o izolowanych osiach. W drugim (rys. 8) układnie pomiędzy siatką a katodą istnieć będzie bardzo duży opór.

Na przykład, aby w tym układzie uzyskać częstotliwość 20 c/s przy kondensatorach zmiennych  $3 \times 500 \mu F$ , opór R wyniesie:

$$R = \frac{1}{2\pi f C} = \frac{245}{6.28 \cdot 20 \cdot 500 \cdot 10^{-6}} \approx 39 \text{ megomów,}$$

zatem między siatką a katodą sumaryczny opór wyniesie  $3 \times 39 \text{ Mg} = 117 \text{ Mg}$ .



Rys. 9.

Oczywiście w tych warunkach lampa pracować nie może, zaś wrażliwość na wszelkiego rodzaju zakłócenia byłaby bardzo duża.

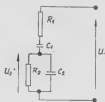
W układzie na rys. 7 można zmieniać równocześnie opory trzech potencjometrów. Czytelnik dla przykładu przeliczy sobie jakie pojemności winny wypadć.

Oprócz powyższych układów najważniejsze rozpoznanie uzyskał układ jak na rys. 9.

Widzimy tu układ dwulampowy już dający nam przesunięcie fazowe wystarczające dla uzyskania oscylacji. Aby powstały oscylacje dla jednej tylko częstotliwości zastosowano układ R,C, posiadający właściwości rezonansowe.

Mianowicie rozpatrzmy sam układ R.C. na rys. 10, w zależności od częstotliwości.

Dla bardzo małych częstotliwości oporność kondensatora  $C_2$  jest bardzo duża, tak, że napięcie  $U_2$  jest równie praktycznie zero. Dla częstotliwości, bardzo wielkich oporność kondensatora  $C_2$  jest bardzo mała i zawiera opór  $R_2$  przez co napięcie  $U_2$  również będzie równe się zero. Dla jakiejś pośredniej częstotliwości uzyskamy na elementach RC napięcie maksymalne.



Rys. 10.

Rys. 11 przedstawia przebieg napięcia  $U_2$  zależne od częstotliwości, jak widzimy krzywa jest podobna nieco do krzywej rezonansowej, oczywiście jest to bardzo „płaska krzywa”.

Maksymalne napięcie  $U_2$  równe jest  $\frac{1}{2}$  napięcia  $U_1$  i występuje dla częstotliwości „rezonansowej” określonej równaniem:

$$\frac{1}{\omega R_1 C_1} = \omega R_2 C_2$$

a stąd

$$f = \frac{1}{2\pi \sqrt{R_1 R_2 C_1 C_2}} \quad (4)$$

Tylko dla tej częstotliwości powstaje napięcie w fazie odpowiedniej dla oscylacji.

$$\text{Gdy } R_1 = R_2 = R \text{ i } C_1 = C_2 = C$$

$$f = \frac{1}{2\pi \cdot R \cdot C} \quad (4a)$$

Dla „zaostrzenia” krzywej rezonansu stosuje się równocześnie i reakcję ujemną. Wielkość tej reakcji zależy od stosunku  $\frac{R_k}{R_a}$ , im większy opór  $R_a$ , tym

mniejsza ujemna reakcja. Przez układ RC mamy reakcję dodatnią, a przez  $R_a - R_k$  ujemną. Gdy reakcja ujemna przeważa nad dodatnią, oscylacji nie będzie.

Wielkość ujemnej mocy tak dobrą, że reakcja dodatnia będzie większa od ujemnej tylko dla małego zakresu częstotliwości w pobliżu rezonansu; wtedy pominiemy siatkę a katodę zalcodnią napięcia od częstotliwości będzie wyrażona krzywą bardzo ostrą, jak to przedstawia rys. 12.

W ten sposób uzyskujemy oscylacje o stałej częstotliwości i b. małej zawartości harmonicznych. Częstotliwość oscylacji zależy tylko od wartości oporów i kondensatorów, jak długo lampy pracuje bez prądu siatki i na prostoliniowej części charakterystyki. Dlatego staramy się pracować b. małymi amplitudami na pograniczu powstawania drgań.

Jeżeli generator ma dawać napięcie o regulowanej częstotliwości, musimy zastosować automatyczną regulację amplitudy oscylacji. Amerykanie stosują regulator prądowy w formie żarówki (110V 3W), włączoną w obwód katody zamiast oporu  $R_k$ . Przy wzroście amplitudy oscylacji, popłynie większy prąd zmienny przez żarówkę, na skutek czego wzrośnie jej opór. Zwiększenie oporu powiększa ujemną reakcję, która natychmiast zmniejsza amplitudę oscylacji.

Można również zastosować automatykę przy pomocy diody i selektody — układu takiego użył autor w opisanym teleradiogeneratorsie.

Przed opisem budowy jeszcze parę uwag odnośnie doboru elementów.

Częstotliwość rezonansowa określona jest z równania jednakowego przesunięcia fazowego:

$$\frac{1}{6,28 \cdot f \cdot R_1 C_1} = 6,28 \cdot f \cdot R_2 C_2$$

Jeżeli chcemy zbudować generator o regulowanej częstotliwości, to dla stałych oporów  $R_1$  i  $R_2$ , przy powiększeniu częstotliwości  $f$  dwukrotnie, musi zmaleć dwukrotnie kondensator  $C_2$  i  $C_1$ , aby lewa i prawa strona równania pozostała bez zmiany.



Rys. 11.

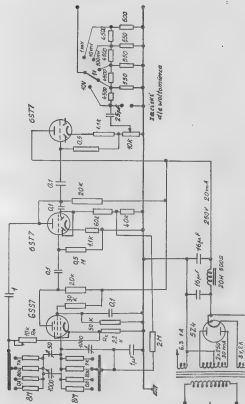


Rys. 12

A zatem dla identycznych oporów  $R_1$  i  $R_2$  kondensatory muszą być również jednakowe. Przy budowie należy wyrównać kondensatory (mogą być one fabrycznie wyrównane i w granicach  $\pm 0,5\%$ ) C i opory  $R$  z dokładnością  $\pm 1 - 2\%$ . W przeciwnym wypadku krzywa nie będzie czystą sinusoidą.

Następnie ponieważ przy małych pojemnościach wypadają duże opory a jak widzieliśmy poprzednio jest to niekorzystne, należy stosować możliwie du-





że pojemności np.  $4 \times 500 \text{ pF}$  (robimy z tego  $2 \times 1000$ ) i wtedy dla częstotliwości największych ( $20 \text{ c/s}$ ) opór wypadnie rzędu  $8 \text{ Mg}$ .

W braku takiego kondensatora oczywiście z powodzeniem użycie można aggregatu  $2 \times 100 \text{ pF}$  co zresztą wiele firm robi.

Drugą wadą jest ta okoliczność, że rotor obu kondensatorów nie może być połączony z ziemią. Z ziemią połączony jest sztor kondensatora  $C_2$ ; należy więc dobrze odizolować rotor od chassis i całość wraz z przełącznikiem i oporami starannie zekranować. W przeciwnym wypadku przez szkodliwe pojemności indukowane się będzie szła na siatkę co wywoła prądówkę, oraz złą pracę (synchronizacja) na częstotliwościach poniżej  $100 \text{ c/s}$ . Zamiast regulownej w sposób ciągły częstotliwości możemy zastosować dwa stałe kondensatory, i przełączyć resztę oporów; w ten sposób pokryć można za pomocą podwójnego dziesięt opożeńowego - przełącznika zakres od  $20 \text{ c/s}$  do  $20000 \text{ c/s}$  ( $20, 50, 100, 200, 500, 1000, 2000, 5000, 10000, 20000 \text{ c/s}$ ).

Po omówieniu różnych rozwiązań tunegeneratorem przystępujemy do opisu i budowy.

Autor postawił sobie następujące warunki:

- 1) Zakres częstotliwości od  $20 \text{ c/s}$  do  $200 \text{ kHz}$  (zakres od  $20 \text{ kHz}$  do  $200 \text{ kHz}$  s. przeznaczony do sprawdzenia np. wzmocniony oscylografowy, nie musi oczywiście obowiązywać każdego).
- 2) Zawartość harmonicznych poniżej  $1\%$
- 3) Stałość amplitudy w zakresie od  $20 \text{ c/s}$  do  $20000 \text{ c/s} \pm 0,5 \text{ db}$ .
- 4) Napięcie wyjściowe rzędu  $10 \text{ woltów}$  z dzielnikiem umożliwiającym osłabienie do  $1 \text{ mV}$ .
- 5) Możliwość pomiaru napięcia wyjściowego.
- 6) Użycie zwykłych lamp znajdujących się na rynku oraz małe zużycie prądu.

Układ generatorki przedstawia rys. 13.

Pierwsza lampa jest selekcyjną i pracuje jako wzmocniacz oporowy. Podstawą układ ma pracować do częstotliwości  $200 \text{ kHz}$  opory anodowe muszą być małe, w naszym wypadku  $20 \text{ k}\Omega$ . Napięcie masek do dwóch-trzech  $6\text{E}7\text{T}$ , której system śledowy wy-

korzystamy jest dla automatyki. Wielkość napięcia automatyki należy dobrać eksperymentalnie tak, aby generator w danym zakresie utrzymywał stałą amplitudę.

Anoda lampy drugiej sprężona jest układem RC. Dla pokrycia zakresu  $20 - 200 \text{ c/s}$ ,  $200 - 2000$ ,  $2000 - 20000$ ,  $20000 - 200000 \text{ c/s}$ , przy kondensatorze oznaczonym  $4 \times 500 \text{ pF}$  opór R wynosił  $8 \text{ Mg}$ ,  $80000$ ,  $80000$  i około  $1000 \text{ omów}$ .

Przy kondensatorze  $2 \times 500 \text{ pF}$  wartości muszą być dwa razy większe. Próbować kondensatory muszą mieć identyczną pojemność, dla wyrównania stosunkowo dużej pojemności początkowej, własnej siatki dodatkowej i krzywej równoległej do głównego kondensatora t.e. Wielkość oporu Ra dobieramy tak, aby oscylacje były pewne i modulacja stała za wszystkich zakresach, oraz krzywa sinusoidalna. Przy małej słabszej reakcji h. łatwo wyregulować przesłuchanie lampy i krzywa jest sinusoidalna. Z anody stopnia drugiego zasilają się stopień wyjściowy również z lampą  $6\text{E}7\text{T}$ .

Napięcie wyjściowe zbiera się z potencjometru w obwodzie katody (katodzie folowej). W układzie tym napięcie wyjściowe jest trochę mniejsze niż na sztorze lampy, ale wielkość ta ( $10 \text{ V}$ ) jest zupełnie wystarczająca do pomiarów. Układ katodowy follower — wzmocnika katodowego — ma należącego oporu wewnętrzznego. Napięcie dzielnic możemy mierzyc dodatkowym woltmetrem i oprócz tego dzielić w stosunku dziesiętnym. W ten sposób możemy nastawić napięcie wyjściowe w dowolnych wartościach od  $10 \text{ woltów}$  aż do  $0,1 \text{ miliwolta}$ .

Opór wewnętrzny generatora (z wyjątkiem zakresu  $10 \text{ V}$ ) wynosił ok.  $800 \text{ omów}$ .

Najmniejszy opór zewnętrzny jaki możemy włączyć na generator wynosił  $50000 \Omega$ , przy czym błąd dzielnic nie będzie większy niż  $1\%$ .

Napięcie zasilające generatora było bardzo dobrze filtrowane, co nie jest zbyt trudne do wykonania ponieważ prąd nie przekracza  $20 \text{ mA}$ .

Fotografia zasilania, wykonawki konstrukcyjne, cechowanie i przykłady zastosowania podamy w następnym numerze.

## ROZMAITOŚCI

### DLA EKSPERYMENTUJĄCICH

#### Detektor mocy

W czasopiśmie „Elektronik” z maja ubiegłego roku, znajdujemy opis próby zasilania głośnika w odbiorniku wprost z detektora z pominięciem wzmocniacza małej częstotliwości.

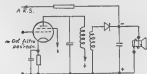
Jak wiadomo zniekształcenia nieliniowe i częstotliwości mają głównie miejsce w skrajnych małych częstotliwości (lampa, elementy sprzęgające, transformatory). Powstała więc myśl zasilenia głośnika wprost z detektora.

Oczywiście prądy dostarczane przez prostownik muszą być odpowiednio duże, a zatem i moc doprowadzona do detektora duża.

Jedyni wiernymi pod uwagę superheterodynę, to ostatni stopień wzmocnienia poprzedniej częstotliwości musiałby być wzmocniaczem mowy i dostarczyć do prostownika energię prądów wielkiej częstotliwości rzędu  $3-4 \text{ watów}$ .

Układ, nad którym eksperymentowano, przedstawia rys. 1. Wzmocniacz pośredniej (lampa  $6\text{V}6$ ) zasilają poprzez transformator w. cz. prostownik, a następnie bezpośrednio cewkę drgającą głośnika

dynamicznego (prętkownik jednopłytkowy typu stosowanego do badania akumulatorów). Transformator wyjściowy (w. cz.) posiada przekładnię dopasowującą opór głośnika (dla małej cz.) do wartości oporu optymalnego lampy. Dla lampy 6V6 opór ten wynosi 5000 omów.



Rys. 1.

Transformator wykonano z normalnego obwodu wejściowego odbiornika (po oddaleniu cewki antenowej); uzwojenie wtórne składa się z 15 zwojów drutu 0,8 mm. Ponieważ głośnik przedstawia obciążenie indukcyjne, w obwodzie pierwotnym należało zastosować większy kondensator, niżby to wynikało ze wzoru

$$C = \frac{1}{\omega^2 \cdot L}$$

Obwód zasilany, a urządzenie w formie przystawki umieszczono w odległości 1 m od małego supera.

Sieć lampy 6V6 zasilano z ostatniego filtra przedwzrostu częst. odbiornika. Prętkownik jednopłytkowy o powierzchni  $\sim 7 \text{ cm}^2$ . Wpływ pojemności prętkownika (około 500 pF) jest bez znaczenia, gdyż opór obciążenia wynosi około 5 omów i prętkownik jest wystarczająco obciążony. Podobnie i kondensator blokujący cewkę głośnika o pojemności 0,5 pF, jest przy tym oporze bez wpływu na charakterystykę częstotliwości.

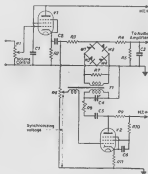
Przy zastosowaniu tego układu i lampy 6V6 autor uzyskał moc na głośniku rzędu 2 watów. Jakość odtwarzania i wierność była pierwszorzędna, spotykana tylko w najwyższej klasie odbiorników.

Równocześnie wykorzystano można napięcie ze prostownika dla automatycznej regulacji siły. Za pomocą przestawki jednopłytkowej można z powodzeniem zastosować prostownik w układzie Graetz i wtedy uzyskać większą moc; również wzmacniacz mógłby pracować nie w klasie A, a w klasie B i sprawność urządzenia byłaby wówczas większa. Do regulacji siły można zastosować opór drutowy włączony w obwód wtórny uzwojenia transformatora w. cz.

Dla odtwarzania płyt gramofonowych, należy użyć jednolampowego oscylatora modulowanego wprost z adaptera. Urządzenie takie opisywaliśmy już w ramach „Normalności”.

## SYNCHRODINA

W Angli opracowano nowy typ odbiornika, którego detekcja jest synchronizowana przy pomocy lokalnego oscylatora. W ten sposób otrzymuje się na wyjściu sygnały częstotliwości tylko wtedy,



Rys. 2.

|                               |                           |
|-------------------------------|---------------------------|
| $R_1$ — mokrty, 1000 $\Omega$ | $R_{10}$ — 20000 $\Omega$ |
| $R_2$ — 300 $\Omega$          | $R_{11}$ — 200 $\Omega$   |
| $R_3$ — 5000 $\Omega$         |                           |
| $R_4$ — 2500 $\Omega$         | $C_1$ — 0,33 pF           |
| $R_5$ — 2500 $\Omega$         | $C_2$ — 0,33 pF           |
| $R_6$ — 10000 $\Omega$        | $C_3$ — 0,002 pF          |
| $R_7$ — 300 $\Omega$          | $C_4$ — 300 pF            |
| $R_8$ — 250000 $\Omega$       | $C_5$ — 0,05 pF           |
| $R_9$ — 10000 $\Omega$        | $C_6$ — 0,33 pF           |

$W_1$  — diody, albo kryształy germanium

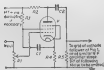
$T_1$  — c. obrotowa — 10 pHz

c. statkowa — 10 pHz

c. demodul. — 1 pHz

$V_1$ , —  $V_2$  — post. o d. z. 5 mA/V

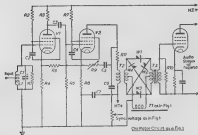
gdy częstotliwość lokalnego oscylatora równa jest dokładnie częstotliwości nośnej stacji odbieranej. Tak więc uzyskuje się w sztuczny sposób b. dużą selektywność. Poza tym ponieważ selekcja daje tylko układ detektorujący, można zastosować oprow. wzmacniacze szerokopasmowe. W ten sposób zmniejszono do pewnego stopnia i trzęsli, które w odbiornikach o małych tłumionych obwodach (o dużej selekcji) są większe niż w odbiornikach o gorszych obwodach.



Rys. 2

$R_1 = 1000 \Omega$   
(nie kryt.)  
 $R_2 = 10000 \Omega$   
 $R_3 = 20000 \Omega$   
 $R_4 = 200 \Omega$   
 $R_5 = 100000 \Omega$   
 $C_1 = 0.05 \mu F$   
 $C_2 = 0.05 \mu F$   
V — jak poprzednio

Rys. 3

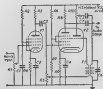


Rys. 4

$R_1$  — zależnie od potrzeby (kifadziest k, ismów)  
 $R_2 = 20000 \Omega$   
 $R_3 = 10000 \Omega$   
 $R_4 = 200 \Omega$   
 $R_5 = 10000 \Omega$   
 $R_6 = 100000 \Omega$   
 $R_7 = 20000 \Omega$   
 $R_8 = 200 \Omega$   
 $R_9 = 250000 \Omega$   
 $R_{10} = 200000 \Omega$   
 $R_{11} = 5000 \Omega$   
 $V_1, V_2$  — jak poprzednio  
 $C_1 = 500 \mu F$  (podwójny współ-  
ny z obwodem oscylatora)  
 $C_2, C_3, C_4, C_5, C_6, C_7, C_8 = 0.05 \mu F$

$L_1 = 100$  — zaczep w środku  
 $T_1$  — obwód rezonansowy  $\sim 7mH$   
obwód demodulatora  $\sim 1mH$   
przekładnia 2.5:1  
 $T_2$  — tranz., m. cz. 1:10  
ind. pierw. uzwojenia  
około 10 H

Poniżej podajemy trzy układy na fale średnie, opisane schematycznie w czasopiśmie „Electronic Engineering” Sept. 1947. Odbiornik pierwszy o sto-  
sunkowo małej czułości (rys. 2) dający na wy-  
jściu napięcie m. cz. około 1 mV (za nam musi być  
włączony odpowiedni wzmacniacz m. cz.) przy sy-  
gnale wejściowym 50 mV i 30% modulacji. Pierw-  
za lampa (CP41, EF14, o dużym nachyleniu) spal-



Rys. 5

$R_1 = ok. 1000 \Omega$   
 $R_2 = 20000 \Omega$   
 $R_3 = 10000 \Omega$   
 $R_4 = 200 \Omega$   
 $R_5 = 10000 \Omega$   
 $R_6 = 20000 \Omega$   
 $R_7 = 20000 \Omega$   
 $R_8 = 10000 \Omega$   
 $R_9 = 200 \Omega$   
 $R_{10} = 250000 \Omega$   
 $C_1 = 0.05 \mu F$   
 $C_2 = 0.1 \mu F$   
 $C_3 = 0.05 \mu F$   
 $C_4 = 0.1 \mu F$   
 $C_5 = 0.05 \mu F$   
 $C_6 = 500 \mu F$   
 $C_7 = 0.1 \mu F$

$V_1$  — pentoda o 5-8mA/V  
 $V_2$  — ECH85 (może być z innego typu)  
 $T_1$  — obwód strojony — 100  $\mu H$   
— szkieł — 10  $\mu H$

nia własne role izolatora i zasilacza demodulator  
w układzie Cowana. Oscylator powinien dawać po  
względnej stronie transformatora  $T_1$  (na oporze  $R_2$ )  
napięcie rzędu 2 woltów. Amplitudę oscylatora re-  
gułuje się oporem  $R_4$ .

Ponieważ częstotliwość oscylatora musi być do-  
kładnie równa częstotliwości odbieranej, zachodzi  
konieczność synchronizacji. Odbywa się to przez  
nakładanie obu napięć w obwodzie szkiełki oscyla-  
tora. Zależnie od wielkości odbieranego sygnału  
reguluje się wielkość napięcia synchronizacyjnego  
przy pomocy potencjometru  $R_4$ . Czułość opisanego  
odbiornika można zwiększyć (do 2 mV) przez do-  
danie jednostopniowego wzmacniacza jak na rys. 3.

Odbiornik o dużej czułości (10  $\mu V$ ) dający na  
wyjściu transformatora  $T_1$  ok. 60 mV, przedsta-  
wiony jest na rys. 4. Dwa pierwsze stopnie to wzma-  
niacz wielkiej częstotliwości. Regulację wzmacnia-  
cza dokonuje się przez zmianę oporu  $R_2$  ujemnego  
sprężenia. Układ oscylatora (nie pokazany na  
rysunku) jest identyczny jak w odbiorniku po-  
przednim. Napięcie potrzebne jest tu nieco niższe  
i wynosi ok. 1 wolta. Demodulator w układzie indu-  
kcyjnym (Ring demodulator) poprzez transfor-  
mator 1:5-1:10 zasilia stopień małej częstotliwości.

Trzecie rozwiązanie (najłatwiejsze do skapery-  
mentowania) odznacza się dużą prostotą. Przy sy-

gnale ok. 10 mV napięcie małej częstotliwości wynosi 1 volt.

Pierwsza lampa pracuje jako wzmacniacz małej częstotliwości. Druga jako oscylator (czuść triodowa) oraz demodulator. Amplituda oscylatora winna wynosić ok. 7 — 10 V (na statku), regulacja potencjometrem Ra. Napięcie synchronizacyjne reguluje się potencjometrem Rb.

## Przegląd schematów

W niniejszym numerze podajemy opis i schemat (rys. 1) odbiornika firmy Hornophon, typu „Horny Trix Pentode W”, 3-lampowego z 4 tą prostowniczą, 7-obwodowego, 3-zakresowego.

Schemat przedstawia układ supera reflex pracującego na 3-ich pentodach (lampa seel 4 walbów) z filtrem wstęgowym na wejściu (dla fal średnich i długich).

W stopniu oscylator-modulatora zastosowano pentodę E444. W obwodzie anodowym tej lampy znajdują się oprócz obwodu filtra pośredniej częstotliwości (128 kca) — cewki anodowe obwodu oscylatora. Między katodą a ziemią znajduje się cewka reakcyjna. Prąd anodowy stały tej lampy przebiega poprzez układ cewek anodowych oscylatora i filtra pośredniej częstotliwości i zamyka się na minus układu przez katodę wraz z cewką statkową oscylatora (wspólną dla fal średnich i długich) i opornik 2 K  $\Omega$  z dwoma odcierniami. Są one ustawione na stałe, przy czym położenie ich powinno być tak dobrane, aby mógł zaistnieć warunek samowzbudzenia się układu oscylacyjnego i co jest uzależnione od początkowego ujemnego napięcia statki oscylatora. Strójnie oscylatora odbywa się po stronie cewek anodowych. Układ pracuje jako trw. układ sumujący.

Modulowane prądy pośredniej częstotliwości przedstawiają się z pierwszego na drugi obwód pośredniej częstotliwości, szlak przez kondensator 100 cm i 20.000 cm na statkę sterującą lampy E444. Lampa E444 jest lampą kombinowaną i przedstawia połączenie tetrody z diodą (binoda). Spełnia tu potrójną rolę: wzmacnia prądy pośredniej częstotliwości, produkuje je i wzmacnia prądy niskiej częstotliwości.

Modulowane prądy z 4-go obwodu pośredniej częstotliwości są wyprostowane przez diodę; prądy małej ca. przez kondensator 2000 cm, cewkę drugiego obwodu pośredniej częstotliwości, potencjometr 0,5 M  $\Omega$  i kondensator 20.000 cm — przedstają się jeszcze raz na statkę sterującą lampy E444 — i po wzmacnieniu — na statną lampę E443H. Umieszczony w jej obwodzie anodowym: potencjometr 0,1 M  $\Omega$  i kondensator 20.000 cm służą do regulowania barwy dźwięku.

Ujemne napięcie dla statki sterującej lampy E444

Demodulacja w tym układzie nie jest tak selektywna jak w układach poprzednich, ale jeszcze dać można. Jeżeli ktoś z Czytelników spróbuje eksperymentów z tymi układami, prosimy o podzielenie się z nami wynikami. Jako lampy wzmacniające doskonałe się nadają tu podziemne pentody o dużym nachyleniu ( $3 = 6 + 8 \text{ mA/V}$ ) typu LVI.

powstaje jako spadek napięcia na oporze katodowym 2 K  $\Omega$  zaś dla lampy anodowej (E443H) jako spadek napięcia na oporze z odciernem 1 K  $\Omega$  znajdującym się w minuse obwodu prostownika.

Prostownik pracuje w układzie jednogłówkowym (dwie anody są połączone razem). Zamiast diawika zastosowany jest opór 1 K  $\Omega$ .

Schemat drugi przedstawia układ odbiornika typu „Hagenuk 227 W”.

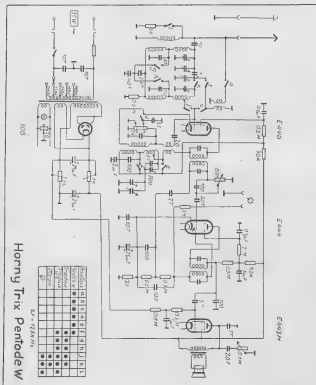
Jest to odbiornik 3-obwodowy z resarką na wysokiej częstotliwości, 3-zakresowy (dale średnie i długie), 4 lampowy z 5-tą prostowniczą (lampa serii „A” czterowalbowej).

W obwodzie wejściowym znajduje się obwód strojony z lampą AHI, heksoda, w stopniu wzmacniania wynikowej częstotliwości. Drugi obwód stanowi zespół kolumn z sobą sprzęgniętych cewek w anodzie lampy AHI i w anodzie lampy AB2 (duodioda) i jest strojony w zespole cewek lampy AB2.

Energia prądów wysokiej częstotliwości — po wzmacnieniu przez lampę AHI — z jej obwodu anodowego przedstawia się dzięki indukcji do obwodu strojonego i anody lampy AB2; tu — część jej zostaje wyprostowana i odprowadzona na statkę sterującą lampy AFT poprzez filtr, składający się z potencjometru 0,5 M  $\Omega$  (regulator mly głosu), oporu 0,1 M  $\Omega$  kondensatora stałego 10.000 cm oraz kondensatora 10 pF, część zaś jako wielka częstotliwość — inną drogą, przez kondensator regulowany i opór 10 K  $\Omega$  również na statkę sterującą lampy AFT. Lampa AFT spełnia tu — jak wiadać — podwójną rolę: wzmacnia niską częstotliwość i staty dla wprowadzenia reakcji na wielkiej częstotliwości. Prądy wielkiej częstotliwości z obwodu anodowego lampy AFT wracają przez kondensator stały 110 pF na cewki reakcyjne, sprzęgnięte z cewkami anodowymi lampy AHI i w ten sposób odłamują obwód anodowy lampy AHI. Tym samym uzyskuje się dodatkowe wzmacnienie wielkiej częstotliwości. Niska częstotliwość — po wzmacnieniu przez lampę AFT — dostaje się przez opór 0,2 M  $\Omega$  i kondensator stały 10.000 cm na statkę sterującą lampy końcowej AHI, skąd po wzmacnieniu za pomocą transformatora wyjściowego — na głośnik.

Zasilacz pracuje na lampie AZ1 z dwupółkową wym prostowaniem, z uzwojeniem wzbudzającym głośnika jako diodek w filtrze i dwoma kondensatorami elektrolitycznymi.

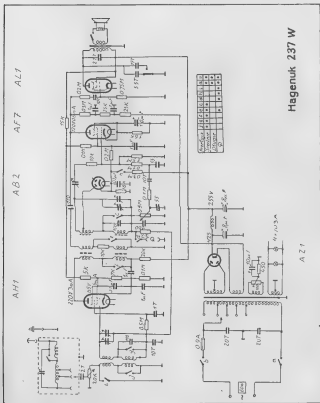
W diodzie AB2 jest zastosowana automatyka, dzięki czemu na scatkę sterującą lampy AH1 oraz scatkę 3-cią (specjalnie dla celów automatyki) przedostaje się automatycznie ujemne napięcie poprzez opór 1,5 MΩ.



Kyo J. Sasaki M.D.

Przy załączeniu adaptera gramofonowego automatycznie zostaje aparat wyłączony z odbioru na antenie, gdyż zwierając „h” zamyka obwód z płasza zasilacza poprzez opór 0,3 MΩ i opór katodowy

1,6 KΩ za masę, wskutek czego powstaje duże napięcie dodatkowe na katodzie lampy AB2 i proces detekcji zostaje wstrzymany.



# Lampy serii 21.

Na życzenie Czytelników kontynuujemy wykazy lamp. Lampy amerykańskie (dokończenie) podany w dalszych numerach.

| Typ    | Rodzaj | Współczynnik | Współczynnik | U <sub>a</sub> | I <sub>a</sub> | U <sub>a</sub> | U <sub>b1</sub> | U <sub>b2</sub> | U <sub>b3</sub> | I <sub>a</sub> | I <sub>b1</sub> | S    | K    | Ri      | R <sub>a</sub> | P <sub>a</sub> | P <sub>b</sub> | U <sub>max</sub> |
|--------|--------|--------------|--------------|----------------|----------------|----------------|-----------------|-----------------|-----------------|----------------|-----------------|------|------|---------|----------------|----------------|----------------|------------------|
| EBL 21 | 1+1+4  | 6+9          | 4            | 6,3            | 0,7            | 250            | -6              | 250             | —               | 3,6            | 4               | 9,5  | —    | 50,000  | 7000           | 9,2            | 9              | 2                |
| ECH 21 | 2+6+3  | 2+3          | 2            | 6,3            | 0,33           | 250            | -2              | 250             | —               | 3              | 6,2             | 0,33 | —    | 1,4     | —              | —              | —              | 2                |
|        |        |              |              |                |                | 250            | -2              | 250             | —               | 6,2            | 2,2             | 0,9  | —    | 3-10    | —              | —              | —              | 2                |
|        |        | 14W          | 6,3          | 0,33           | 250W           | -3             | —               | —               | —               | 1              | 2,2             | 12W  | —    | —       | —              | —              | —              | 2                |
| EF 22  | 4+3    | 1            | 3            | 6,3            | 0,2            | 250            | -2              | 250             | —               | 6              | 1,3             | 2,2  | —    | 1       | —              | —              | —              | 2                |
| UOL 21 | 1+1+4  | 6+9          | 1            | 5,5            | 0,1            | 100            | -3              | 100             | —               | 3,5            | 5,5             | 7,5  | —    | 25,000  | 3000           | 1,3            | —              | 2                |
|        |        |              |              |                |                | 150            | -10             | 150             | —               | 41             | 50              | 9    | —    | 22,000  | 3000           | 4,8            | —              | 2                |
|        |        |              |              |                |                | 200            | -13             | 200             | —               | 5,5            | 9,5             | 9    | —    | 25,000  | 1500           | 5,8            | —              | 2                |
| UCH 21 | 2+6+3  | 2+3          | 2            | 8,0            | 0,1            | 100            | -1              | 100             | —               | 1,5            | 3               | 0,8  | —    | 1       | —              | —              | —              | 2                |
|        |        |              |              |                |                | 200            | -2              | 200             | —               | 3,5            | 6,5             | 0,8  | —    | 1,3     | —              | —              | —              | 2                |
|        |        |              |              |                |                | —              | -2,5            | —               | —               | —              | —               | —    | —    | 3-10    | —              | —              | —              | 2                |
|        |        |              |              |                |                | 100            | -1              | 100             | —               | 2,6            | 2               | 2,1  | —    | 0,1     | —              | —              | —              | 2                |
|        |        |              |              |                |                | —              | -1,3            | —               | —               | —              | —               | —    | —    | 3-10    | —              | —              | —              | 2                |
|        |        |              |              |                |                | 200            | -2              | 200             | —               | 5,2            | 8,5             | 2,2  | —    | 0,1     | —              | —              | —              | 2                |
|        |        |              |              |                |                | —              | -2,7            | —               | —               | —              | —               | —    | —    | 3-10    | —              | —              | —              | 2                |
|        |        |              |              |                |                | 100W           | —               | —               | —               | 1,5            | —               | —    | —    | —       | —              | —              | —              | 2                |
|        |        |              |              |                |                | 200W           | —               | —               | —               | 3,5            | —               | —    | —    | —       | —              | —              | —              | 2                |
|        |        |              |              |                |                | 100W           | -1              | —               | —               | 0,4            | —               | —    | —    | —       | —              | —              | —              | 2                |
|        |        |              |              |                |                | 200W           | -2              | —               | —               | 0,5            | —               | —    | —    | —       | —              | —              | —              | 2                |
| UF 21  | 4+3    | 1            | 3            | 12,5           | 0,1            | 100            | -2,5            | 100             | —               | 0,5            | 0,85            | 2,2  | —    | 0,4     | —              | —              | —              | 2                |
|        |        |              |              |                |                | —              | -1,8            | —               | —               | —              | —               | —    | —    | 3-10    | —              | —              | —              | 2                |
|        |        |              |              |                |                | 200            | -2,7            | 200             | —               | 0              | 6               | 1,7  | 2,2  | —       | —              | —              | —              | 2                |
|        |        |              |              |                |                | —              | -3,5            | —               | —               | —              | —               | —    | —    | 3-10    | —              | —              | —              | 2                |
| DAC 21 | 1+2    | 5+7          | 4            | 1,4            | 0,025          | 90             | 0               | —               | —               | 0,05           | 0,05            | 0,5  | —    | 110,000 | 30000          | —              | —              | 2                |
|        |        |              |              |                |                | 120            | 0               | —               | —               | 0,05           | 0,05            | 0,5  | —    | 110,000 | 30000          | —              | —              | 2                |
| DAN 50 | 4+6+3  | 1+3          | 5            | 3,8            | 0,025          | 15             | —               | 15              | 0               | 0,8            | 1,6             | —    | —    | 400,000 | —              | —              | —              | 2                |
|        |        |              |              |                |                | 1,4            | 0,025           | —               | —               | —              | —               | —    | —    | —       | —              | —              | —              | 2                |
| DBC 21 | 1+1+2  | 5+7          | 6            | 14             | 0,025          | 90             | 0,5             | —               | —               | 1,4            | —               | 0,05 | —    | 300,000 | 30000          | —              | —              | 2                |
|        |        |              |              |                |                | 120            | 0,5             | —               | —               | 1,6            | —               | 0,5  | —    | 250,000 | 30000          | —              | —              | 2                |
| DF 21  | 4      | 1            | 3            | 1,4            | 0,025          | 120            | 0,5             | —               | —               | 1              | 0,25            | —    | —    | 3       | —              | —              | —              | 2                |
|        |        |              |              |                |                | —              | -1,5            | —               | —               | —              | —               | —    | —    | 3-10    | —              | —              | —              | 2                |
|        |        | 7W           |              |                |                | 1,4            | 0,025           | 90              | 0               | 90             | 0               | 1,2  | 0,25 | —       | 2              | —              | —              | 2                |
|        |        |              |              |                |                | —              | -3,5            | —               | —               | —              | —               | —    | —    | 3-10    | —              | —              | —              | 2                |
|        |        |              |              |                |                | 1,4            | 0,025           | 120W            | 0,5             | 2W             | 0               | 0,15 | 0,02 | —       | —              | —              | —              | 2                |
|        |        |              |              |                |                | 90W            | 0,5             | 2W              | 0               | 0,1            | 0,02            | —    | —    | —       | —              | —              | —              | 2                |

Serie 21 3V lampy Mini-watt na prąd zmienny

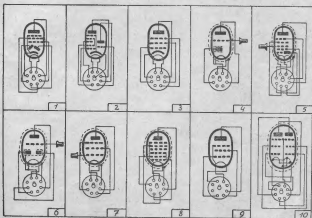
Serie U lampy Mini-watt na prąd zmienny 400 m A

Serie D lampy Mini-watt 1W torzone baleni



| TYP  | RODZAJ | ZASTOSOWANIE | COKI | U <sub>1</sub> | I <sub>1</sub> | U <sub>a</sub> | U <sub>b</sub> | U <sub>c</sub> | U <sub>d</sub> | I <sub>a</sub> | I <sub>b</sub> | S   | K | R <sub>1</sub> | R <sub>a</sub> | R <sub>b</sub> | P <sub>1</sub> | P <sub>a</sub> | P <sub>b</sub> | U <sub>wa</sub> -gl |
|------|--------|--------------|------|----------------|----------------|----------------|----------------|----------------|----------------|----------------|----------------|-----|---|----------------|----------------|----------------|----------------|----------------|----------------|---------------------|
| DF22 | 4 V    | 1            | 1    | U <sub>1</sub> | 0,002          | 120            | -1,5           | 0              | 1,4            | 0,3            | 1,8            | —   | — | 2,5            | —              | —              | —              | —              | —              | —                   |
|      |        |              |      |                |                | —              | -3             | —              | —              | —              | —              | —   | — | > 10           | —              | —              | —              | —              | —              | —                   |
|      |        |              |      |                |                | 70             | -6,5           | 90             | 0              | 1,4            | 0,8            | 1,1 | — | 1,5            | —              | —              | —              | —              | —              | —                   |
|      |        |              |      |                |                | —              | -6             | —              | —              | —              | —              | —   | — | > 10           | —              | —              | —              | —              | —              | —                   |
| DK21 | 7 V    | 2+3          | 8    | U <sub>1</sub> | 0,05           | 90             | -1,5           | 120            | 0              | 1,5            | 2,4            | —   | — | 4,05           | —              | —              | —              | —              | —              | —                   |
|      |        |              |      |                |                | —              | —              | —              | —              | —              | —              | —   | — | > 10           | —              | —              | —              | —              | —              | —                   |
|      |        |              |      |                |                | 120            | -10            | 120            | —              | 1,5            | 2,4            | —   | — | 1,5            | —              | —              | —              | —              | —              | —                   |
|      |        |              |      |                |                | —              | —              | —              | —              | —              | —              | —   | — | > 10           | —              | —              | —              | —              | —              | —                   |
| DL21 | 4      | 9            | 9    | U <sub>1</sub> | 0,07           | 120            | -1,5           | 120            | —              | 5              | 8,9            | 1,4 | — | 4,4            | 24400          | —              | —              | —              | —              | —                   |
|      |        |              |      |                |                | 90             | -3             | 90             | —              | 4              | 8,8            | 1,3 | — | 4,3            | 22500          | —              | —              | —              | —              | —                   |
| DL21 | 4+4    | 10+9         | 10   | U <sub>1</sub> | 0,10           | 90             | -3,5           | 90             | —              | 2x1,0          | 2x0,8          | —   | — | —              | 10000          | —              | —              | —              | —              | —                   |
|      |        |              |      |                |                | —              | —              | —              | —              | —              | —              | —   | — | —              | —              | —              | —              | —              | —              | —                   |
|      |        |              |      |                |                | 140            | -8,3           | 120            | —              | 2x1            | 2x0,8          | —   | — | —              | 10000          | —              | —              | —              | —              | —                   |
|      |        |              |      |                |                | —              | —              | —              | —              | —              | —              | —   | — | —              | —              | —              | —              | —              | —              | —                   |
|      |        |              |      |                |                | 120            | -8,2           | 120            | —              | 2x2            | 2x0,5          | —   | — | —              | 10000          | —              | —              | —              | —              | —                   |
|      |        |              |      |                |                | —              | —              | —              | —              | —              | —              | —   | — | —              | —              | —              | —              | —              | —              | —                   |
|      |        |              |      |                |                | 120            | -9,4           | 120            | —              | 2x4            | 2x0,5          | —   | — | —              | 10000          | —              | —              | —              | —              | —                   |
|      |        |              |      |                |                | —              | —              | —              | —              | —              | —              | —   | — | —              | —              | —              | —              | —              | —              | —                   |

Seria D lampy Miniad 74V  
z zasilaczem z baterii



# Odpowiedzi Redakcji

John Edzian, Opoczno.

Schemat odbiornika jest prawidłowy. Regulację barwy tonu nagrania osiągnie się przez połączenie pomiędzy anodą lampy wyjściowej i przewód zerowy kondensatora o pojemności do 10.000 pF w szereg z potencjometrem o oporze ok. 10kΩ. Do regulacji siły głosu można np. opór anodowy pierwszego stopnia wzmacniacza między ok. zastąpić potencjometrem. Cewki do dwusobowego odobornika opisano są w Nr 5 tyg. R. i Św. z r. b. Na rdzeniu cylindrycznym cewki średnio i diagonalowe powinny mieć średnice: cewka stalowa ok. 30 zw. reak. ok. 28 zw.; drugie odpowiednio: 300 zw. i 40 zw. Dla unieruchomienia wkręcanego rdzenia można od zewnątrz — po ustawieniu we właściwym położeniu — pokryć go lakierem lub po prostu zalać go. Niektóre firmy upraszczają w nagwintowanie wosk.

Filutowski Bogusław.

Poniżej formuły na indukcyjność obwodu rezonansowego:

$$1) L = 254 \frac{1}{C} \text{ gdzie } L \text{ jest w cm, } \lambda - \text{ w metrach,}$$

$C - \text{ w cm, i } 2) \lambda = 1885 \sqrt{LC}$ , gdzie  $L$  jest w μH,  $\lambda - \text{ w metrach, } C - \text{ w pF}$ . Istnieje całkowita zgodność, co łatwo sprawdzić, biorąc pod uwagę zależności: 1 henr =  $10^6 \mu H = 10^9$  cm, oraz 1 farad =  $10^{12}$  pF =  $0,914^2$  cm. Dla lampy 312AFT do obliczeń można przyjąć:  $K = 20$ ;  $R_{av} = 6 - 10$  tys. Ω.

Z braku miejsca w tym numerze nie umieszczamy kopasu na odpowiedź. Zwraca się uwagę Czytelnikom, że na każdej odpowiedzi należy przelać albo 1 kopas, albo 25 zł. w znaczkach pocztowych. W liście należy podać dokładny adres, ponieważ nie wszystkie odpowiedzi mogą być drukowane.

W sprawie firm „Juz, Olszewski — Kraków”, Redakcja nie może służyć odpowiedzi ze względu na brak dokładnego adresu.

## NOMOGRAM Nr 15

Uprozczone obliczenie cewek jedno i wielowarstwowych

(Electronics Sept. 1942).

W swoim czasie podawaliśmy nomogram dla szybkiego obliczania cewek. Poniżej podajemy uniwersalny wykres, przy pomocy którego możemy obliczyć cewki jedno i wielowarstwowe. Bardzo korzystne jest stosowanie tego wykresu dla cewek wielowarstwowych używanych dla indukcyjności większych od 0,5 mH.

Indukcyjność oblicza się ze wzoru:

$$L \approx 0,10 \cdot D \cdot N^2 \cdot F \dots \dots \dots \text{ mikrohenrów}$$

gdzie  $D$  = średnica korpusu cewki

$N$  = ilość zwojów

$F$  = współczynnik zależny od wymiarów cewki (patrz rysunek).

Dla danej ilości drutu, maksymalną indukcyjność osiąga się dla cewek, których współczynnik wymiarów znajdują się w okolicy środka wykresu (M).

Dla przykładu obliczmy cewkę o indukcyjności 0,05 mH (zastosowana w oscylografie z Nr 1-2 Rz).

Zakładamy wymiary cewki:

Średnica korpusu cewki  $D = 2$  cm.

Długość nawinięcia  $W = 1,5$  cm.

wysokość nawinięcia  $T = 1$  cm.

obliczamy ilość zwojów i średnicę drutu.

$$\left. \begin{aligned} W &= 1,5 \\ D &= 2 = 0,75 \\ T &= 1 \\ D &= 2 = 0,5 \end{aligned} \right\} \text{ Z wykresu odczytujemy wartość współczynnika } F = 0,028.$$

$$\text{Szukaj } N^2 = \frac{L}{0,39 \cdot D \cdot F} = \frac{0,0005}{0,39 \cdot 2 \cdot 0,028} = 3640000$$

$$N = \sqrt{3640000} \approx 1900 \text{ zwojów}$$

Dla określenia grubości drutu posługując się będziemy nomogramem z Nr. 2 Rz (z. 1942).

Powierzchnia zajęta przez uzwojenie wynosi:

$$W \times T = 1,5 \times 1 = 1,5 \text{ cm}^2$$

$$\text{Ilość zwojów na } 1 \text{ cm}^2 \text{ wynosi } \frac{1900}{1,5} = \sim 1270$$

Obliczamy drut w izolacji 2 × jedwab, z nomogramu odczytujemy średnicę 0,19 mm.

Redaguje Romkiet

Wydawca: Biuro Wydawnictw P. R.

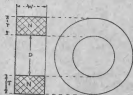
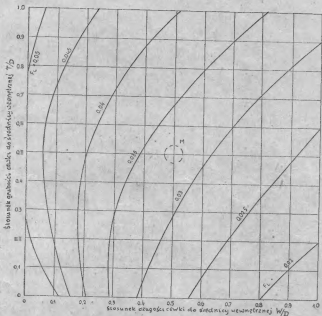
Adres Redakcji i Administracji: Marszałkowska 55.

Wartosc prenumeraty: Półrocznie wraz z przesyłką pocztową zł. 350. Prenumeratę należy wpłacać na konto inkasowe w PKO Nr 6-330 „Radio i Świat”. Na odwrócenie blankietu nadawczego należy zamazać: prenumerata „Radio i Świat”. Cena pojedynczego egzemplarza zł. 60.—

Ceny ogłoszeń: na okładce 1 kal. — 6.000 zł. 1/2 kal. — 3.000 zł. 1/4 kal. — 1.500 zł. 1/8 kal. — 750 zł. w tekście 1.20 za 1 cm szer. i wysokości.

Druk. NKW. Stron. Lud., W-wa

R-42218



Wielkość  $L$  mikrohmach określa wzór  
 $L = 0.08 \cdot D \cdot L \cdot K$

gdzie:  $D$  - średnica wewnętrzna cewki w cm.  
 $N$  - całkowita ilość zwojów  
 $K$  - współczynnik kształtu cewki

Nomogram Nr 13.